

**11. Innenraumtag des Arbeitskreises Innenraumluft,
17.11.2020**

Strategien zur Unterbrechung der Übertragungswege.
SARS-CoV-2-Viren als Bestandteil des
Ultrafeinstaubes sowie dessen Reduktionsmöglichkeit

Wer bin ich?

- Seit 1994 in der Lüftungstechnik
- Hannover, Stuttgart, Singapore
- GF bei Troges 2006 bis 2016
- 2016 ConsultAIR GmbH
- GS bei Troges bis 2017





PARTICLE AND FIBRE TOXICOLOGY

ARTICLE

<https://doi.org/10.1038/s41467-019-11654-3>

OPEN

Ambient black carbon particles reach the fetal side of human placenta

Hannelore Bové^{1,2,3,6}, Eva Bongaerts^{1,6}, Eli Slenders², Esmée M. Bijmens¹, Nelly D. Saenen¹, Wilfried Gyselaers⁴, Peter Van Eyken⁴, Michelle Plusquin¹, Maarten B.J. Roeffaers³, Marcel Ameloot² & Tim S. Nawrot^{1,5}

Loxham and Nieuwenhuijsen *Particle and Fibre Toxicology* (2019) 16:12
<https://doi.org/10.1186/s12989-019-0296-2>

Particle and Fibre Toxicology

REVIEW

Open Access

Health effects of particulate matter air pollution in underground railway systems – a critical review of the evidence

Matthew Loxham^{1,2,3,4*} and Mark J. Nieuwenhuijsen^{5,6,7}



16.11.2020

Cardiovascular disease burden from ambient air pollution in Europe reassessed using novel hazard ratio functions

Jos Lelieveld^{1,2*}, Klaus Klingmüller¹, Andrea Pozzer¹, Ulrich Pöschl¹, Mohammed Fnais³, Andreas Daiber^{4,5}, and Thomas Münzel^{4,5*}

¹Max Planck Institute for Chemistry, Hahn-Meitner-Weg 1, 55128 Mainz, Germany; ²The Cyprus Institute, 20 Kavafi Street, 2123 Nicosia, Cyprus; ³King Saud University, College of Science, Riyadh 11451, Saudi Arabia; ⁴Center for Cardiology, Cardiology I, Angiology and Intensive Care Medicine, University Medical Center of the Johannes Gutenberg University, Langenbeckstrasse 1, 55131 Mainz, Germany; and ⁵German Center for Cardiovascular Research (DZHK), Partner Site Rhine-Main, Langenbeckstr. 1, 55131 Mainz, Germany

Received 18 November 2018; revised 5 December 2018; editorial decision 22 February 2019; accepted 22 February 2019; online publish-ahead-of-print 12 March 2019

SCIENTIFIC REPORTS

Article | OPEN | Published: 26 November 2015

Magnetite-Amyloid- β deteriorates activity and functional organization in an *in vitro* model for Alzheimer's disease

Sara Teller, Islam Bogachan Tahirbegi, Mònica Mir, Josep Samitier & Jordi Soriano

Ausgewählte wissenschaftliche Publikationen

full wording of reference

Jew, K., Herr, D., Wong, C. et al. Selective memory and behavioral alterations after ambient ultrafine particulate matter exposure in aged 3xTgAD Alzheimer's disease mice. *Part Fibre Toxicol* 16, 45 (2019). <https://doi.org/10.1186/s12989-019-0323-3>

Küster, E., Dittmar, C. Experimentelle Untersuchungen über therapeutische Beeinflussung von Impf- und Spontanumoren durch Behandlung der Versuchstiere mit unipolar negativ hochionisierter Luft. *Z Krebs-forsch* 50, 457–464 (1940). <https://doi.org/10.1007/BF01620208>

Exposure to air pollution and COVID-19 mortality in the United States: A nationwide cross-sectional study (Updated April 24, 2020)

Qian H, Zheng X. Ventilation control

for airborne transmission of human exhaled bio-aerosols in

buildings. *J Thorac Dis* 2018;10(Suppl 19):S2295-S2304. doi:

10.21037/jtd.2018.01.24

Cui, Y., Zhang, Z., Froines, J. et al. Air pollution and case fatality of SARS in the People's Republic of China: an ecologic study. *Environ Health* 2, 15 (2003). <https://doi.org/10.1186/1476-069X-2-15>

[Exposure to air pollution and COVID-19 mortality in the United States. Xiao Wu, Rachel C. Nethery, Benjamin M. Sabath, Danielle Braun, Francesca Dominici. medRxiv 2020.04.05.20054502; doi: https://doi.org/10.1101/2020.04.05.20054502](https://doi.org/10.1101/2020.04.05.20054502)

Abt, E., Suh, H.H., Catalano, P., Koutrakis, P., 2000b. Relative contribution of outdoor and indoor particle sources to indoor concentrations. *Environ. Sci. Technol.* 34, 3579–3587.

Almeida-Silva, M., Almeida, S., Pegas, P., Nunes, T., Alves, C., Wolterbeek, H., 2015. Exposure and dose assessment to particle components among an elderly population. *Atmos. Environ.* 102, 156–166

Asbach, C., Kaminski, H., Von Barany, D., Kuhlbusch, T.A., Monz, C., Dziurawitz, N., Pelzer, J., Vossen, K., Berlin, K., Dietrich, S., 2012. Comparability of portable nanoparticle exposure monitors. *Ann. Occup. Hyg.* 56, 606–621.

ASHRAE, 2013. Standard 62.1-2013, Ventilation for Acceptable Indoor Air Quality. American Society of Heating, Refrigerating and Air-Conditioning Engineers, Inc.

Bekö, G., Weschler, C.J., Wierzbicka, A., Karotki, D.G., Toftum, J., Loft, S., Clausen, G., 2013. Ultrafine particles: exposure and source apportionment in 56 Danish homes. *Environ. Sci. Technol.* 47, 10240–10248

Belis, C., Karagulian, F., Larsen, B., Hopke, P., 2013. Critical review and meta-analysis of ambient particulate matter source apportionment using receptor models in Europe. *Atmos. Environ.* 69, 94–108.

Brasche, S., Bischof, W., 2005. Daily time spent indoors in German homes—baseline data for the assessment of indoor exposure of German occupants. *Int. J. Hyg. Environ. Health* 208, 247–253.

Buonanno, G., Marini, S., Morawska, L., Fuoco, F., 2012. Individual dose and exposure of Italian children to ultrafine particles. *Sci. Total Environ.* 438, 271–277.

Buonanno, G., Jayaratne, R.E., Morawska, L., Stabile, L., 2014. Metrological performances of a diffusion charger particle counter for personal monitoring. *Aerosol Air Qual. Res.* 14, 156–167.

Canha, N., Almeida, S., Freitas, M., Täubel, M., Hänninen, O., 2013. Winter ventilation rates at primary schools: comparison between Portugal and Finland. *J. Toxic. Environ. Health A* 76, 400–408.

Almeida, S.M., Derbez, M., 2016. Assessment of ventilation and indoor air pollutants in nursery and elementary schools in France. *Indoor Air* 26, 350–365.

Daisey, J.M., Angell, W.J., Apte, M.G., 2003. Indoor air quality, ventilation and health symptoms in schools: an analysis of existing information. *Indoor Air* 13, 53–64.

Dennekamp, M., Howarth, S., Dick, C., Cherie, J., Donaldson, K., Seaton, A., 2001. Ultrafine particles and nitrogen oxides generated by gas and electric cooking. *Occup. Environ. Med.* 58, 511–516.

El Orch, Z., Stephens, B., Waring, M.S., 2014. Predictions and determinants of size-resolved particle infiltration factors in single-family homes in the US. *Build. Environ.* 74, 106–118.

Farhat, S., Paulo, R., Shimoda, T., Conceição, G., Lin, C., Braga, A., Warth, M., Saldiva, P., 2005. Effect of air pollution on pediatric respiratory emergency room visits and hospital admissions. *Braz. J. Med. Biol. Res.* 38, 227–235.

Fonseca, J., Slezakova, K., Morais, S., Pereira, M., 2014. Assessment of ultrafine particles in Portuguese preschools: levels and exposure doses. *Indoor Air* 24, 618–628.

Forouzanfar, M.H., Alexander, L., Anderson, H.R., Bachman, V.F., Biryukov, S., Brauer, M., Burnett, R., Casey, D., Coates, M.M., Cohen, A., 2015. Global, regional, and national comparative risk assessment of 79 behavioural, environmental and occupational, and metabolic risks or clusters of risks in 188 countries, 1990–2013: a systematic analysis for the Global Burden of Disease Study 2013. *Lancet* 386, 2287–2323.

He, C., Morawska, L., Hitchins, J., Gilbert, D., 2004. Contribution from indoor sources to particle number and mass concentrations in residential houses. *Atmos. Environ.* 38, 3405–3415.

He, C., Morawska, L., Taplin, L., 2007. Particle emission characteristics of office printers. *Environ. Sci. Technol.* 41, 6039–6045.

Hodas, N., Loh, M., Shin, H.M., Li, D., Bennett, D., McKone, T.E., Jolliet, O., Weschler, C.J., Jantunen, M., Lioy, P., 2015. Indoor inhalation intake fractions of fine particulate matter: review of influencing factors. *Indoor Air*.

Holmberg, S., Li, Y.G., 1998. Modelling of the indoor environment - particle dispersion and deposition. *Indoor Air Int. J. Indoor Air Qual. Clim.* 8, 113–122.

Hopke, P.K., Ramadan, Z., Paatero, P., Norris, G.A., Landis, M.S., Williams, R.W., Lewis, C.W., 2003. Receptor modeling of ambient and personal exposure samples: 1998 Baltimore Particulate Matter Epidemiology-Exposure Study. *Atmos. Environ.* 37,

Horemans, B., Van Grieken, R., 2010. Speciation and diurnal variation of thoracic, fine thoracic and sub-micrometer airborne particulate matter at naturally ventilated office environments. *Atmos. Environ.* 44, 1497–1505.

Hussein, T., Kulmala, M., 2008. Indoor aerosol modeling: basic principles and practical applications. *Water Air Soil Pollut. Focus* 8, 23–34.

Hussein, T., Glytsos, T., Ondráček, J., Dohányosová, P., Ždímal, V., Hämeri, K., Lazaridis, M., Smolík, J., Kulmala, M., 2006. Particle size characterization and emission rates during indoor activities in a house. *Atmos. Environ.* 40, 4285–4307.

Hussein, T., Wierzbicka, A., Löndahl, J., Lazaridis, M., Hänninen, O., 2015. Indoor aerosol modeling for assessment of exposure and respiratory tract deposited dose. *Atmos. Environ.* 106, 402–411.

Isaxon, C., Gudmundsson, A., Nordin, E., Lönnblad, L., Dahl, A., Wieslander, G., Bohgard, M., Wierzbicka, A., 2015. Contribution of indoor-generated particles to residential exposure. *Atmos. Environ.* 106, 458–466.

Jahson, A.M., Waring, M.S., DeCarlo, P.F., 2016. Real-time transformation of outdoor aerosol components upon transport indoors measured with aerosol mass spectrometry. *Indoor Air*.

Kearney, J., Wallace, L., MacNeill, M., Xu, X., VanRyswyk, K., You, H., Kulka, R., Wheeler, A., 2011. Residential indoor and outdoor ultrafine particles in Windsor, Ontario. *Atmos. Environ.* 45, 7583–7593.

Kim, H.-H., Lee, G.-W., Yang, J.-Y., Jeon, J.-M., Lee, W.-S., Lim, J.-Y., Lee, H.-S., Gwak, Y.-K., Shin, D.-C., Lim, Y.-W., 2014. Indoor exposure and health risk of polycyclic aromatic hydrocarbons (PAHs) via public facilities PM2.5, Korea (II). *Asian J. Atmos. Environ.* 8, 35–47.

Laiman, R., He, C., Mazaheri, M., Clifford, S., Salimi, F., Crilley, L.R., Mokhtar, M.A.M., Morawska, L., 2014. Characteristics of ultrafine particle sources and deposition rates in primary school classrooms. *Atmos. Environ.* 94, 28–35.

Leech, J.A., Nelson, W.C., Burnett, R.T., Aaron, S., Raizenne, M.E., 2002. It's about time: a comparison of Canadian and American time-activity patterns. *J. Expo. Anal. Environ. Epidemiol.* 12.

Litiu, A., 2012. Ventilation system types in some EU countries. *REHVA J—January 2012*, 18–23.

Loth, E., 2000. Numerical approaches for motion of dispersed particles, droplets and bubbles. *Prog. Energy Combust. Sci.* 26, 161–223.



- Über 400 wissenschaftliche Publikationen,
- Monatlich neue!

Meta Studie – April 2019

Particle and Fibre Toxicology

[Home](#) [About](#) [Articles](#) [Submission Guidelines](#)

Review | [Open Access](#) | Published: 23 April 2019

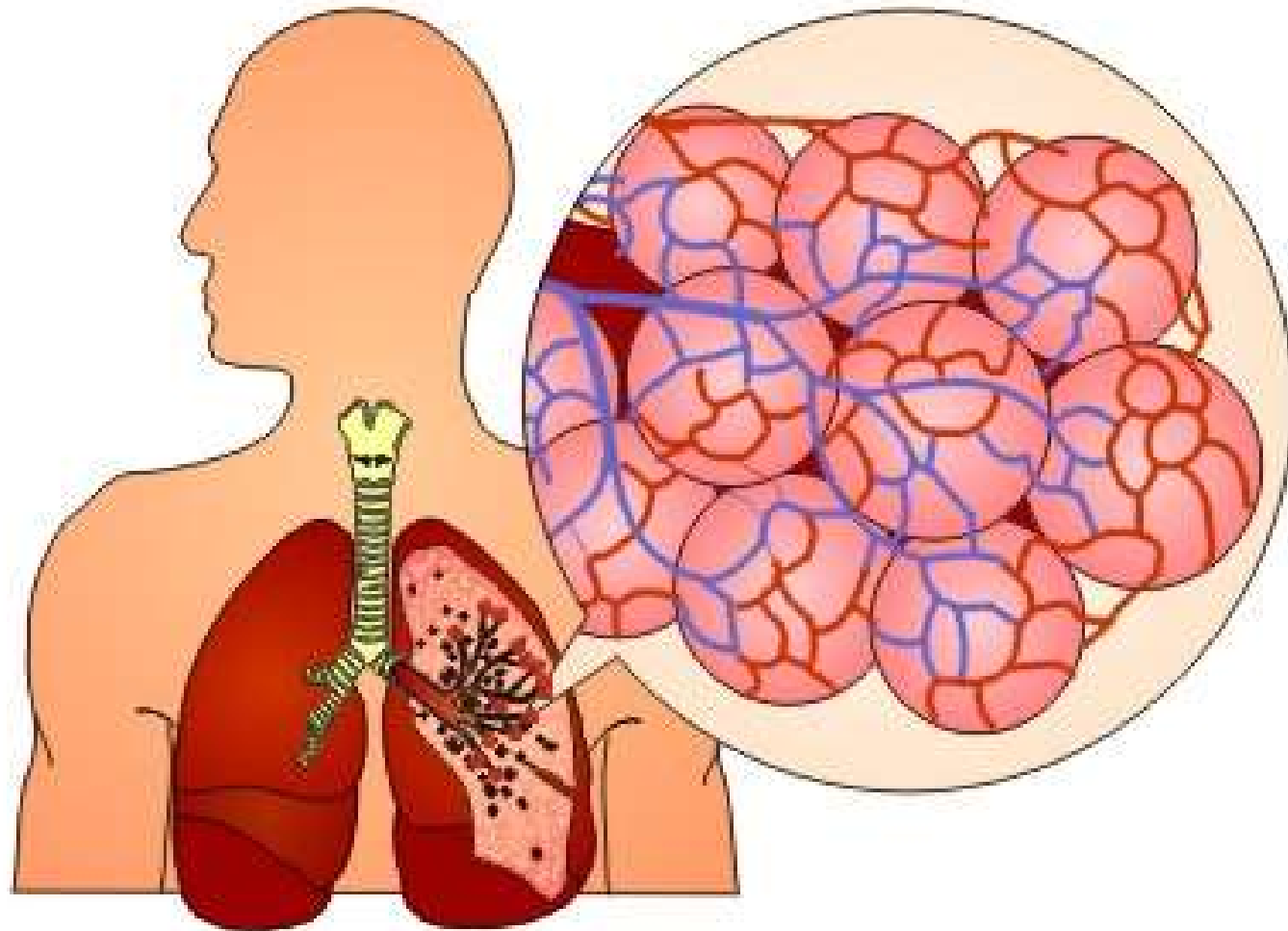
Particle toxicology and health - where are we?

[Michael Riediker](#) , [Daniele Zink](#), [Wolfgang Kreyling](#), [Günter Oberdörster](#), [Alison Elder](#), [Uschi Graham](#), [Iseult Lynch](#), [Albert Duschl](#), [Gaku Ichihara](#), [Sahoko Ichihara](#), [Takahiro Kobayashi](#), [Naomi Hisanaga](#), [Masakazu Umezawa](#), [Tsun-Jen Cheng](#), [Richard Handy](#), [Mary Gulumian](#), [Sally Tinkle](#) & [Flemming Cassee](#)

Particle and Fibre Toxicology **16**, Article number: 19 (2019) | [Cite this article](#)

5171 Accesses | **5** Citations | **1** Altmetric | [Metrics](#)

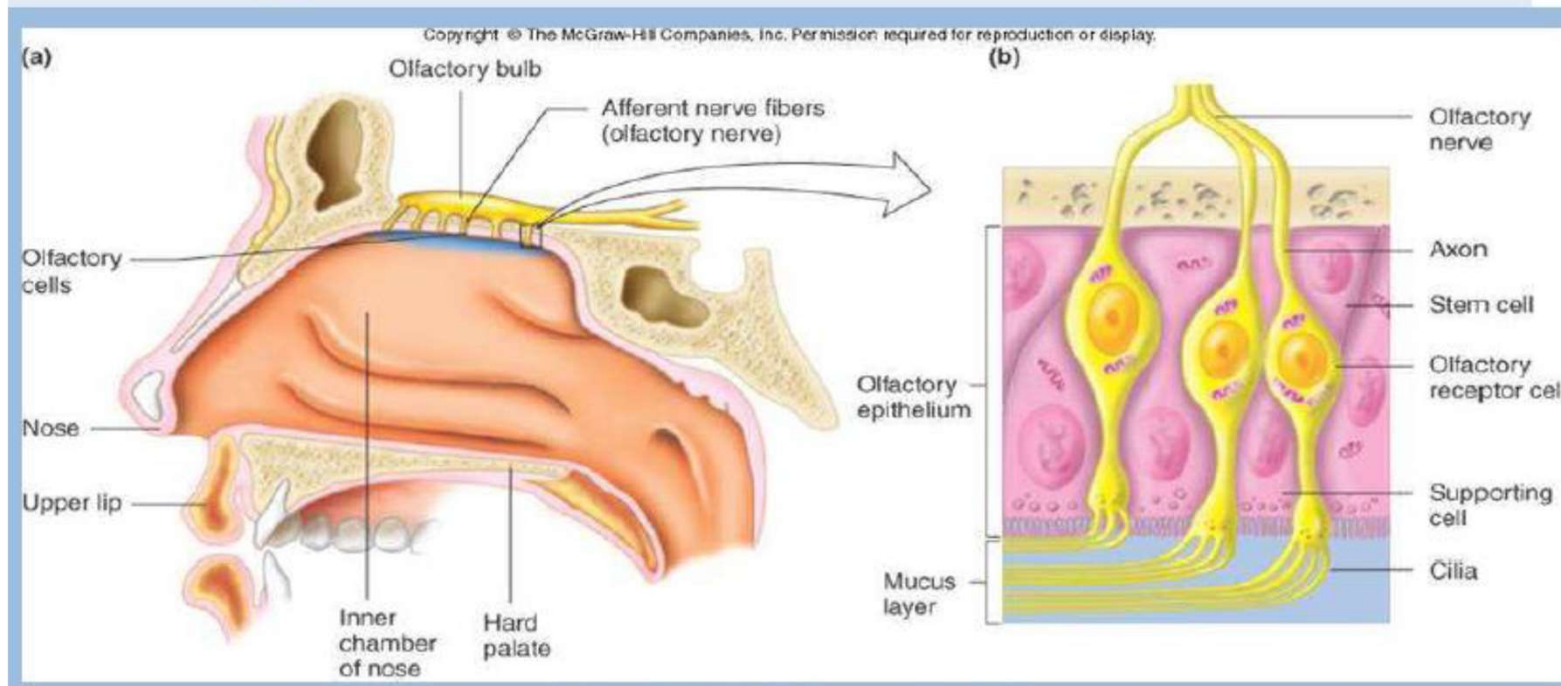
Metastudie -
zitiert
422 (!) Studien
zu diesem
Thema



- Courtesy
https://www.google.at/search?biw=1220&bih=716&tbm=isch&sa=1&ei=dLTxIWCD6mcjLsP1pGw2AQ&q=alveolen&oq=alveolen&gs_l=img.3..0110.291415.1198786..1200259...6.0..1.250.3165.0j18j3.....0....1..gws-wiz-img.....35i39j0i67j0i10i24.epFkNwXsCw0#imgcr=XrO7ZMtv3abyHM

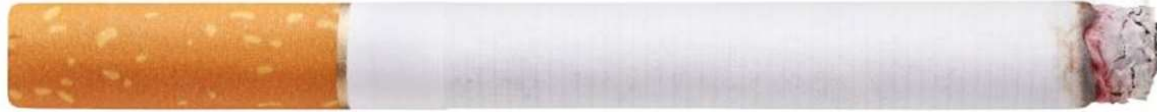
16.11.2020

Translokationsweg via Riechnerven: So gelangen ultrafeine/Nano-Partikel direkt ins zentrale Nervensystem



Quelle: Dr. Heinz Fuchsig, Arbeits- und Umweltmedizin, Baubiologe (IBO) wissenschaftlicher Leiter des Kurses Umweltmedizin der ÖÄK, Vortrag „Wirkungen von und Maßnahmen gegen Verkehrsluftschadstoffe aus medizinischer Sicht“, 2018





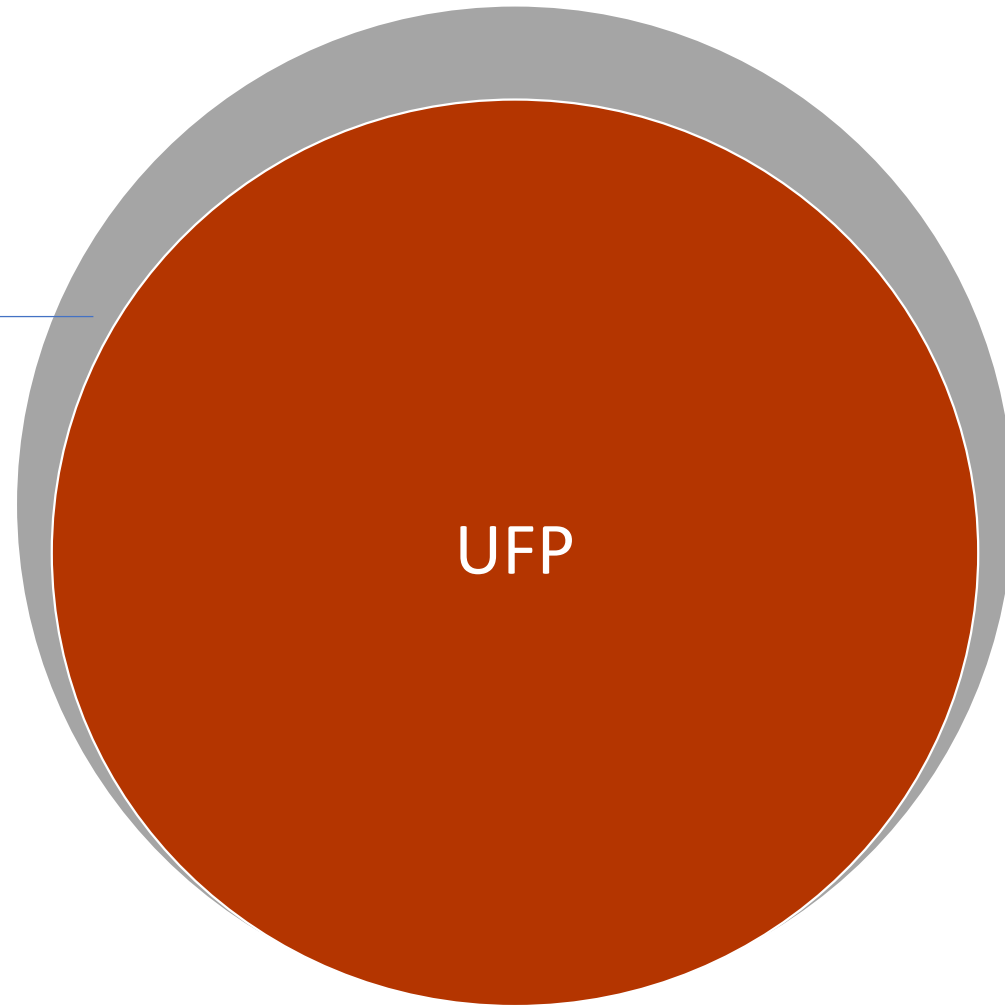
UFP



Viren – COVID 19

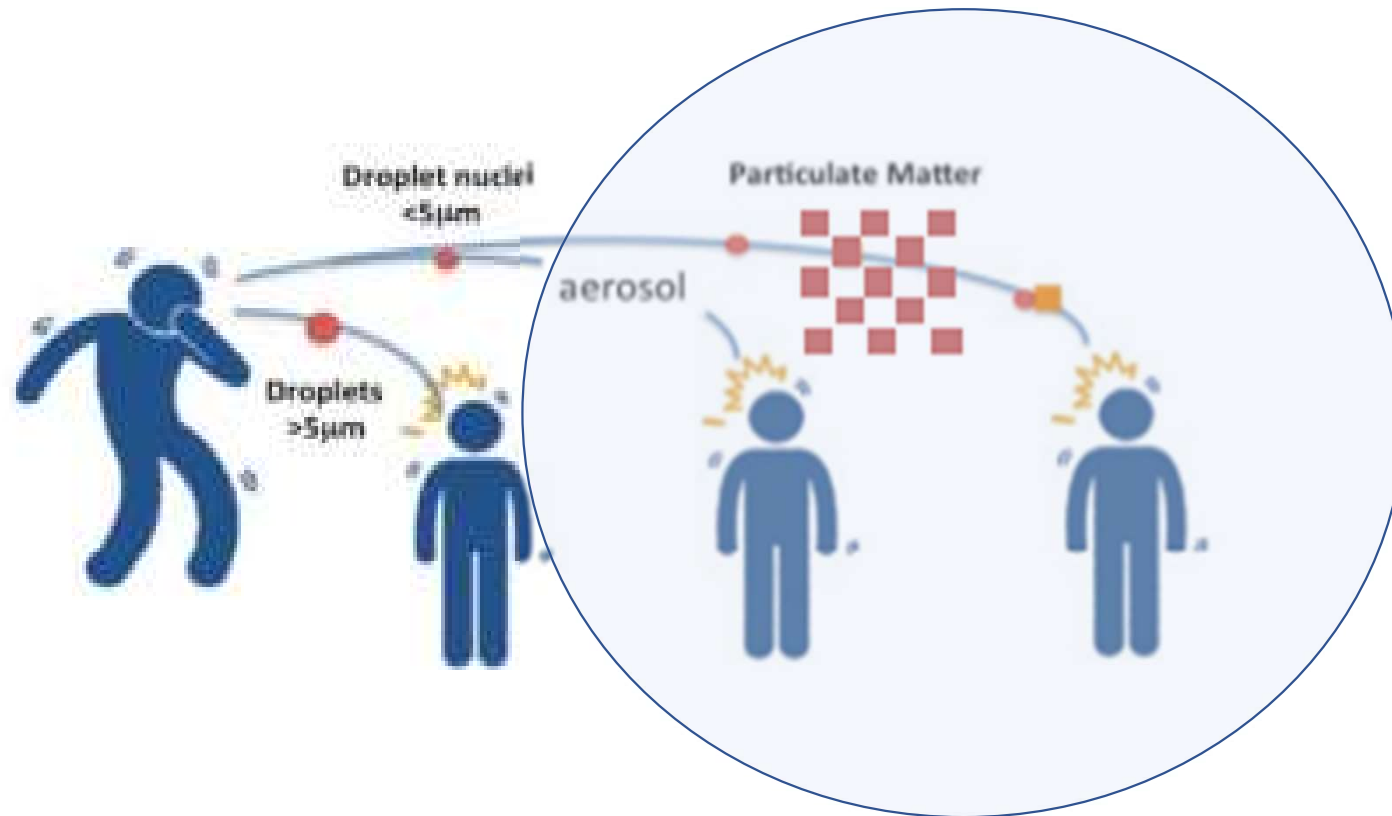
Sekundäre
Übertragungswege

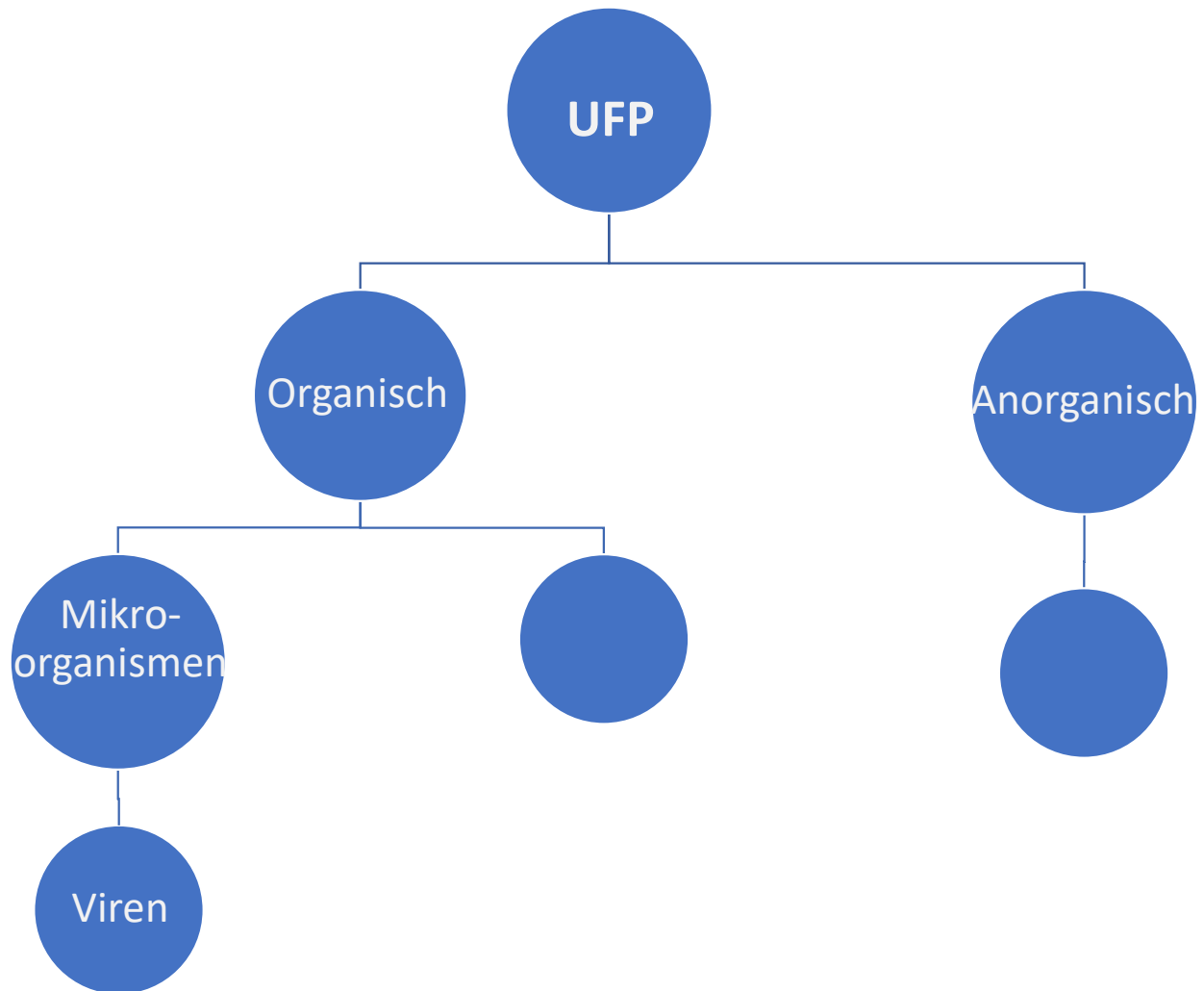
Feinstaub





Sekundäre Übertragungswege







Problemlösung?

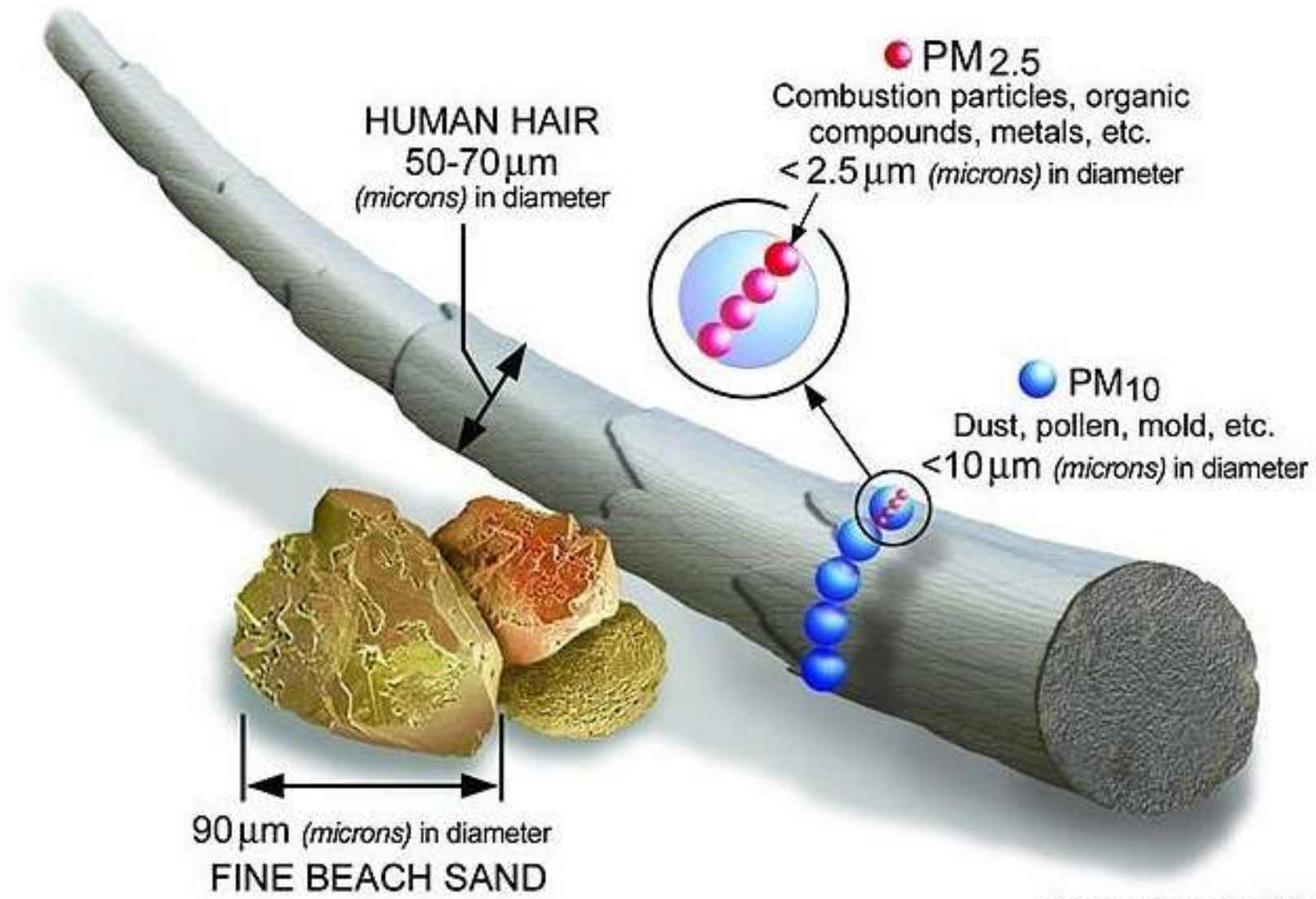
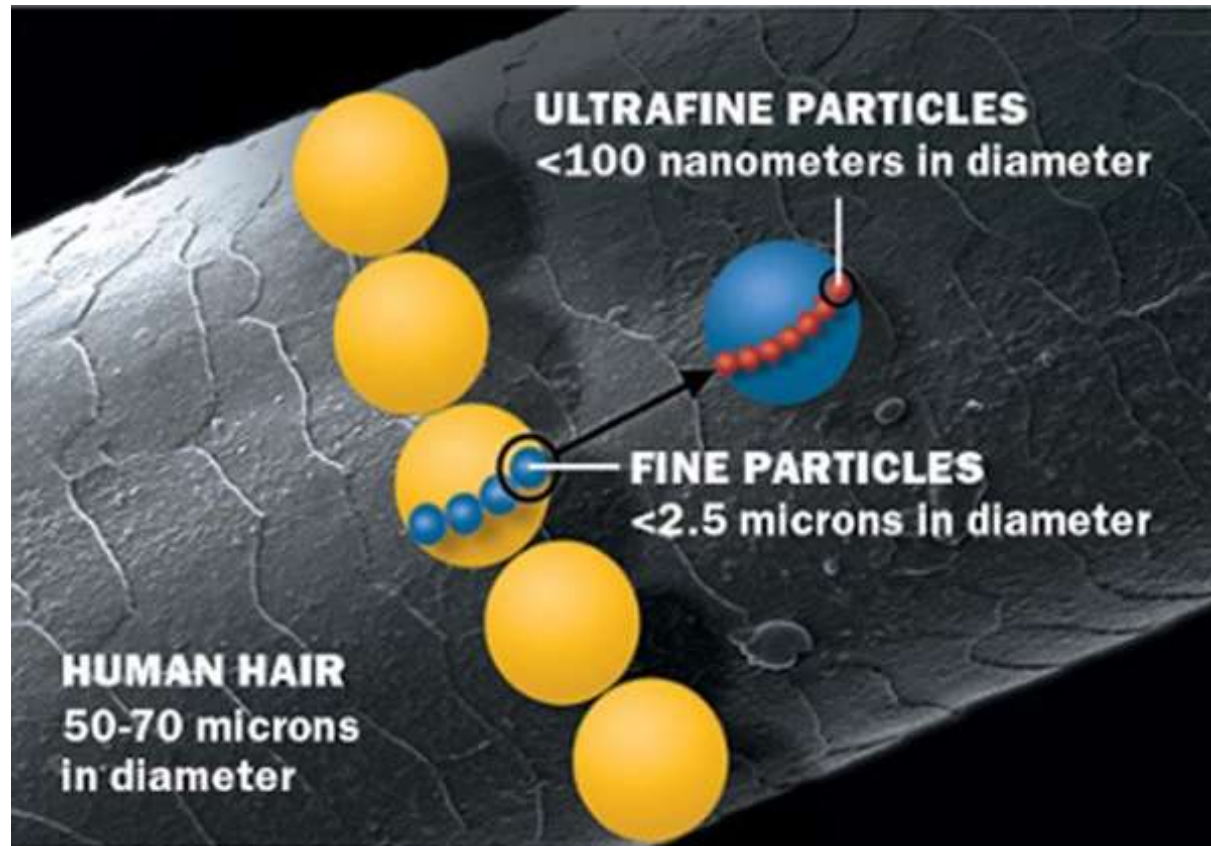


Image courtesy of the U.S. EPA

Menschliches Haar: $70\ \mu\text{m} = 0,07\text{mm}$

PM_{2,5} = Feinstaub: $2,5\ \mu\text{m} = 0,0025\ \text{mm}$

1 mm = 1.000 μm



Quelle: Tufts University, Massachusetts, USA, <https://now.tufts.edu/articles/big-road-blues-pollution-highways>, heruntergeladen 27.10.2020

Ultrafeinstaub PM 0,1

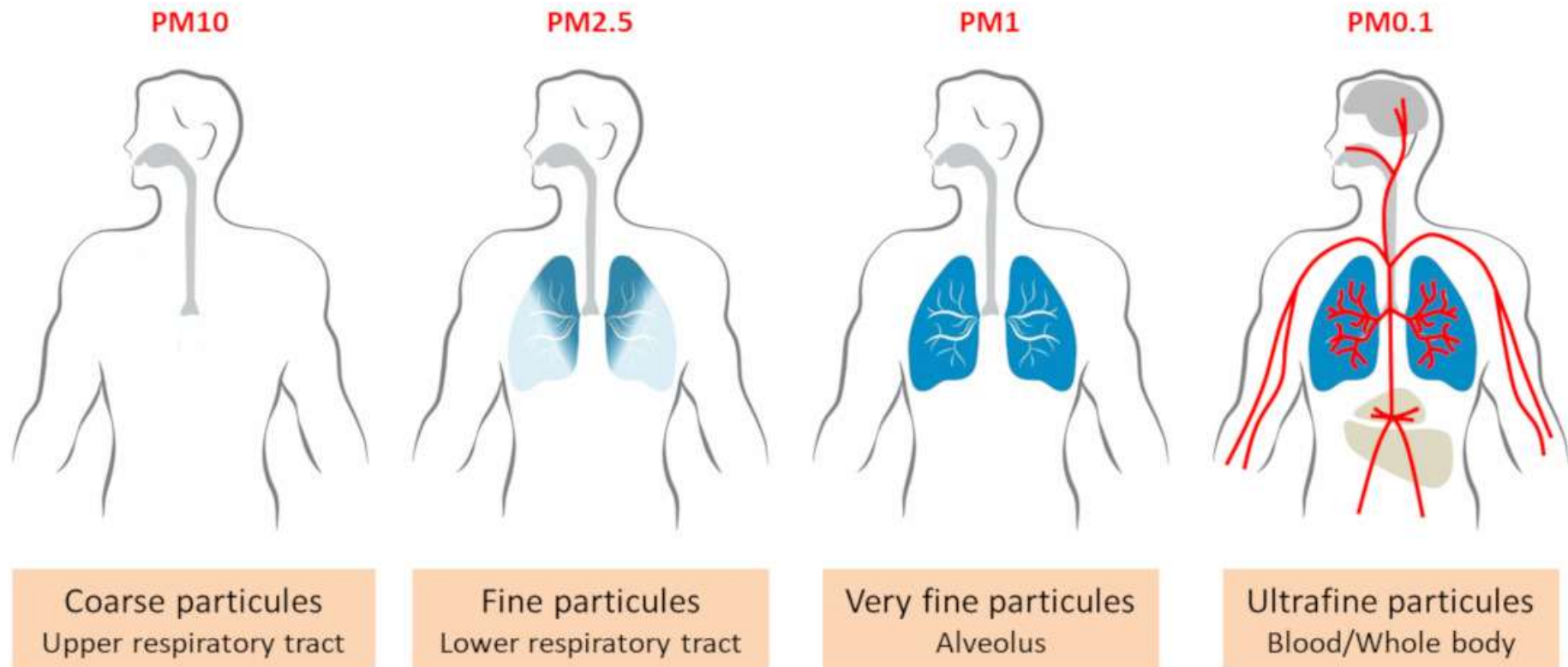


Ultrafeinstaub

- 0,1 μm 0,0001 mm
- UFP ... *Ultra fine particle*

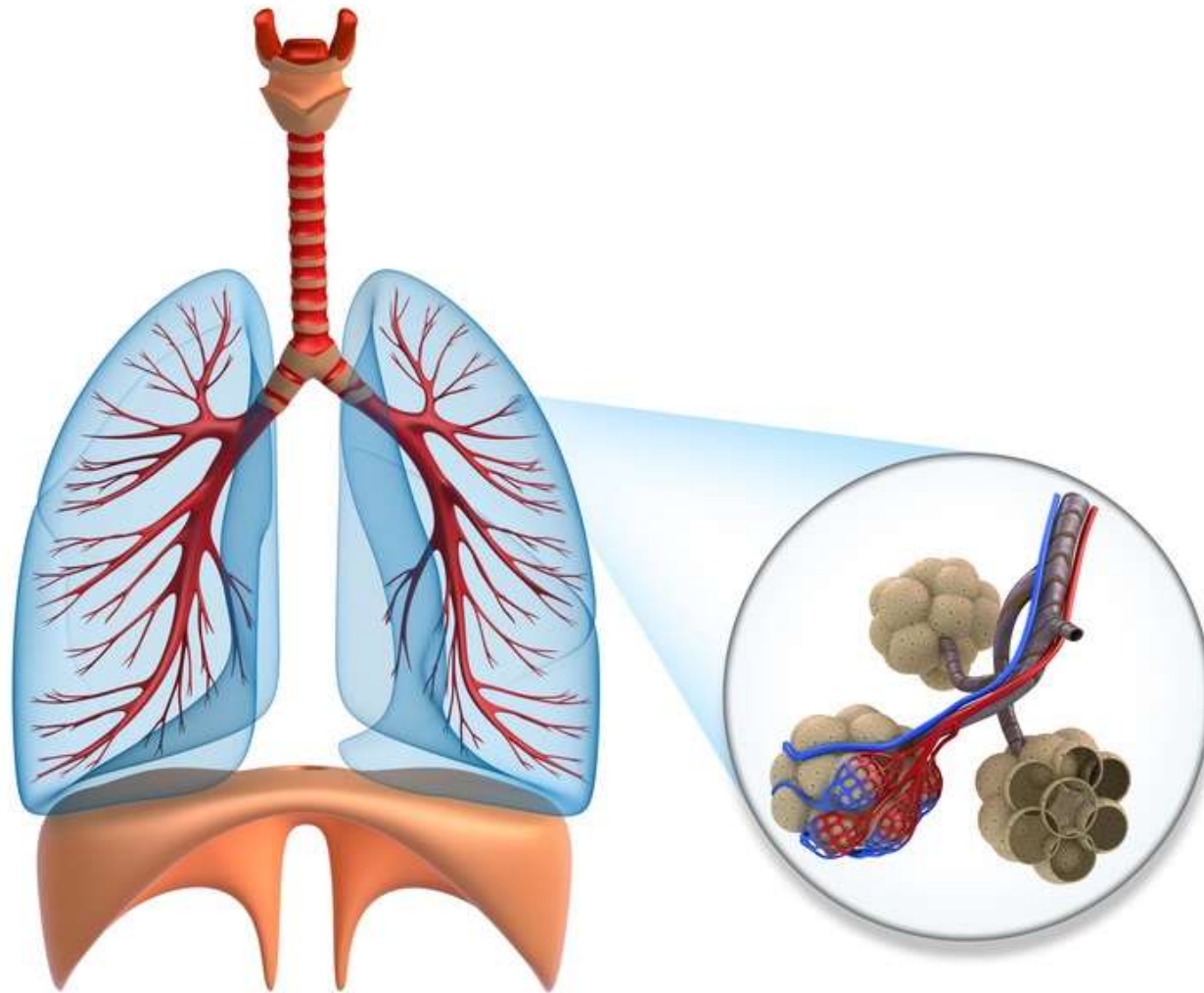
Feinstaub PM 2,5





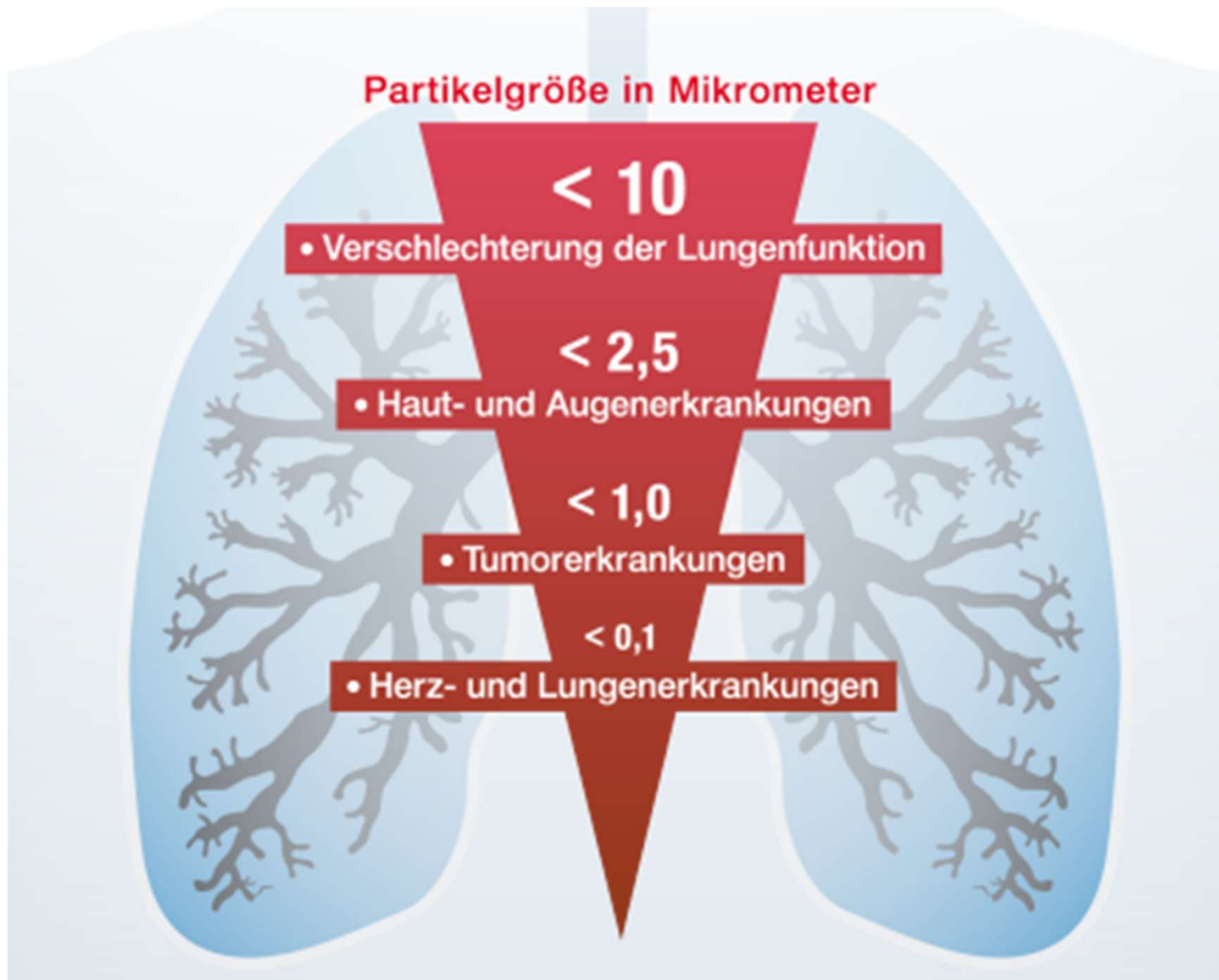
Quelle: <https://www.encyclopedie-environnement.org/en/health/airborne-particulate-health-effects/>

16.11.2020



https://www.google.at/search?biw=1220&bih=716&tbm=isch&sa=1&ei=dLTrXIWCD6mcjLsP1pGw2AQ&q=alveolen&oq=alveolen&gs_l=img.3..0l10.291415.1198786..1200259...6.0..1.250.3165.0j18j3.....0....1..gws-wiz-img.....35i39j0i67j0i10i24.epFkNwXsCw0#imgrc=s-FJlxHjYtHNM:

16.11.2020



Partikelanzahl pro Atemzug / pro Tag

2 Liter pro Atemzug

14 Atemzüge in der Minute

30 Liter Luft in der Minute

Im innerstädtischen Bereich: > **40.000** luftgetragene Partikel

Wir atmen bis zu ...:

pro Minute:

1,2 mio. Partikel

pro Tag:

1,7 Mrd. Partikel

luftgetragene Partikel bzw.
einatembare Partikel

ab ca. 10 μm

Feinstaub

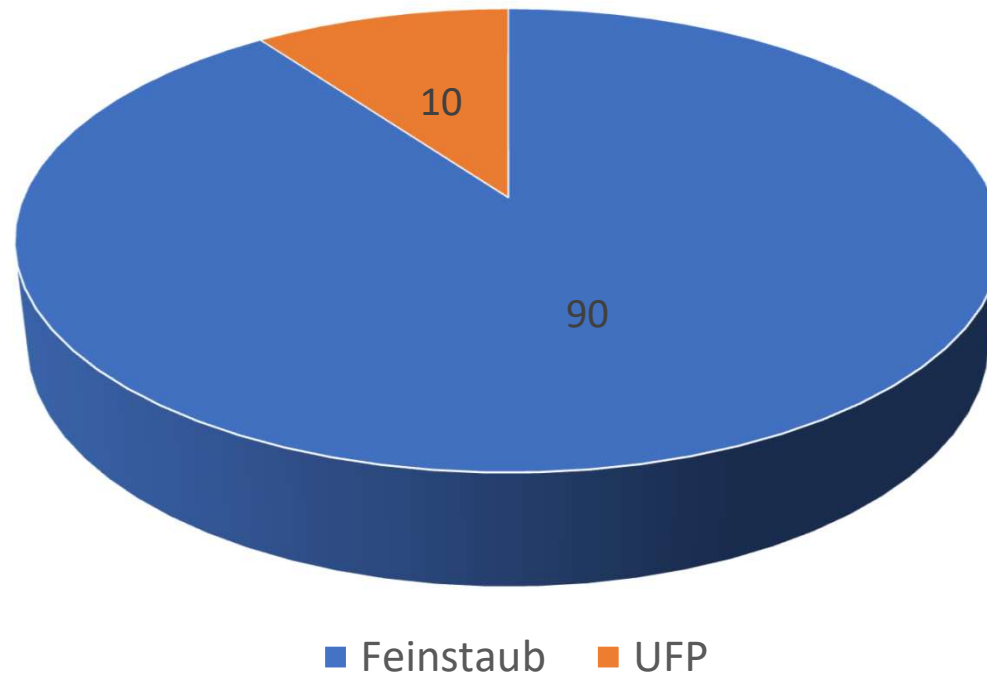
PM 10 PM 5 PM 2,5 PM 1 UFP

Verschiedene Stoffe:
organisch oder anorganisch

Feinstaub: **Masse** vs. Anzahl

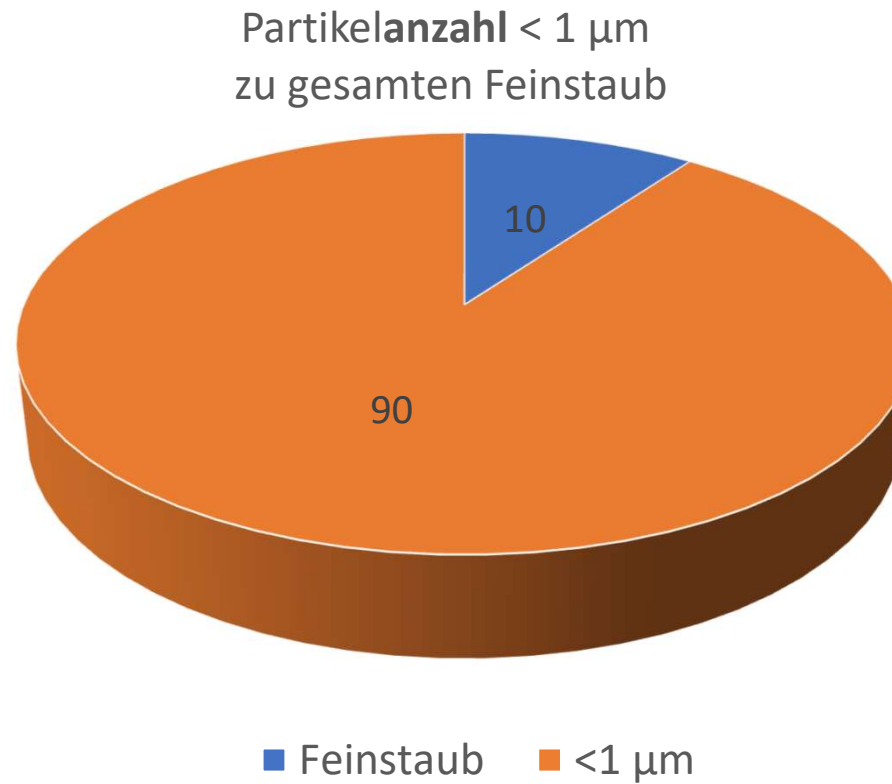
Problem: Angaben zu Feinstaubmessungen in Gewicht nicht in Anzahl!!!

Massenverteilung UFP zu gesamten Feinstaub

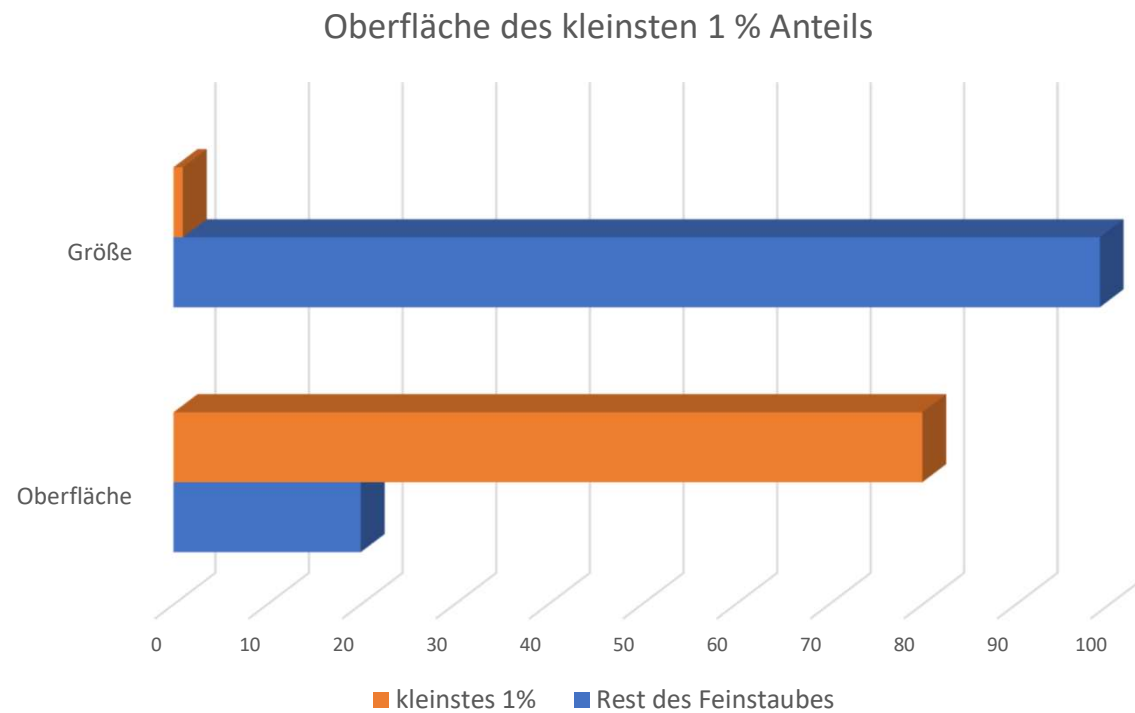


Feinstaub: Masse vs. **Anzahl**

Problem: Angaben zu Feinstaubmessungen in Gewicht nicht in Anzahl!!!

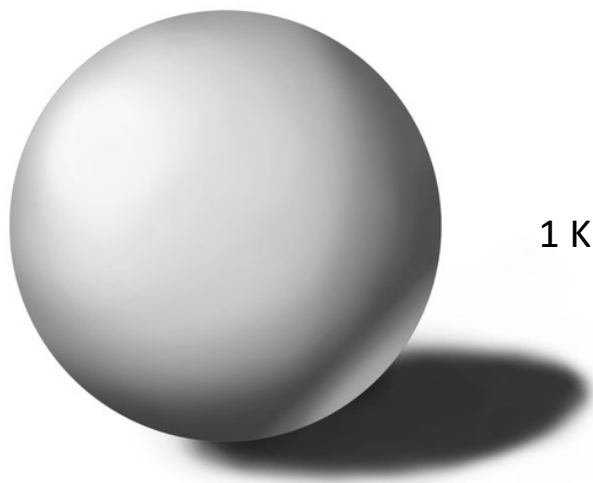


Feinstaub: kleinsten 1 % = 80 % der Oberfläche



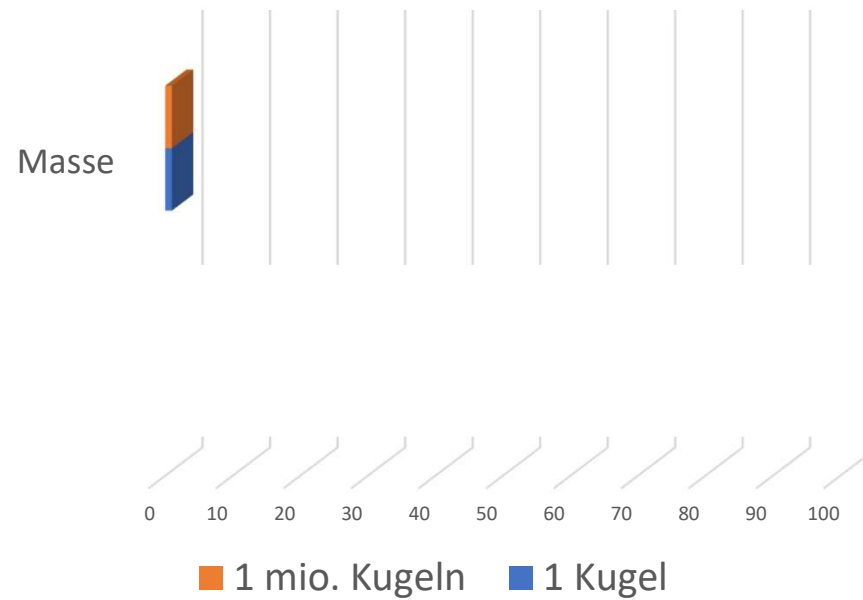


1mio. Kugeln 50 nm = 0,05 μ m



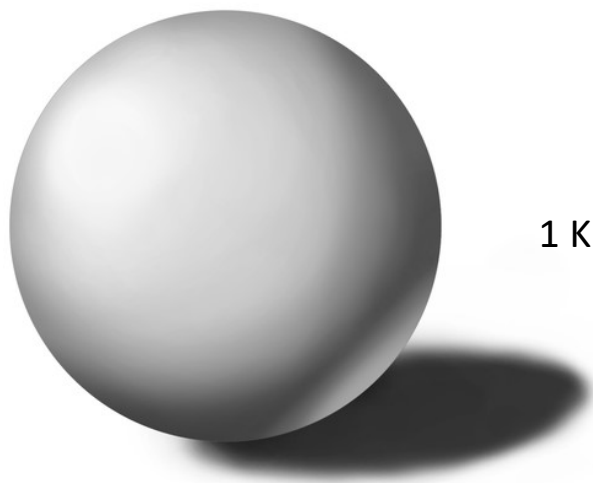
1 Kugel 5 μ m

Oberfläche des kleinsten 1 % Anteils



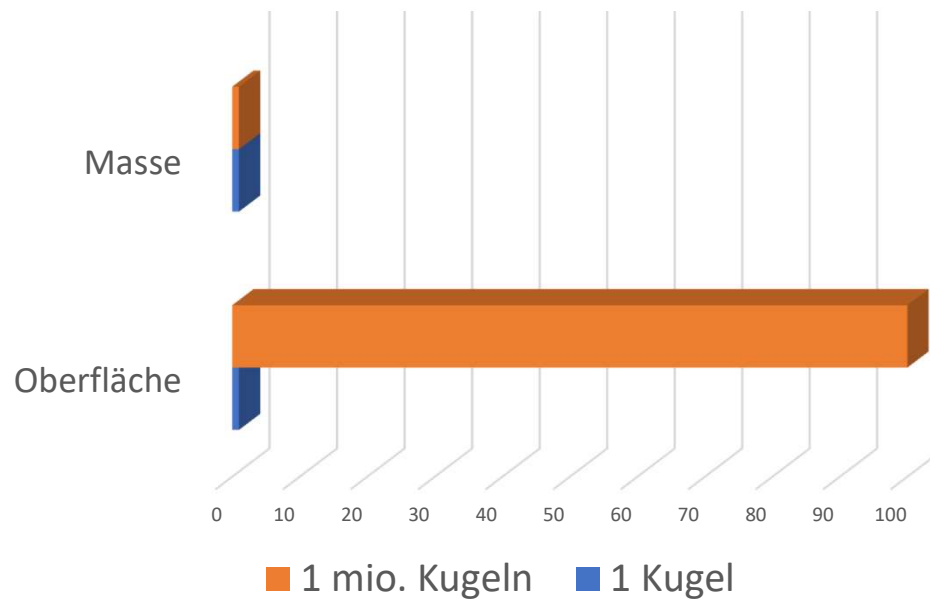


1mio. Kugeln 50 nm = 0,05 µm



1 Kugel 5 µm

Oberfläche des kleinsten 1 % Anteils



Immissionsschutzgesetz Luft - IG-L

Grenzwert für PM 2,5: $20 \mu\text{g}/\text{m}^3$ (= Jahresmittelwert)

Beispiel:

$20 \mu\text{g}/\text{m}^3$ PM 2,5 bei einer Dichte von $1 \text{ kg} / \text{dm}^3$:

2,5 μm : 2,4 mio. Partikel

0,1 μm : 38 Mrd. Partikel

=> 15.600 fache !!!

Wissenschaftliche Publikation



European Heart Journal (2019) **40**, 1590–1596
doi:10.1093/eurheartj/ehz135
European Society of Cardiology

FASTTRACK CLINICAL RESEARCH
Prevention and epidemiology

Cardiovascular disease burden from ambient air pollution in Europe reassessed using novel hazard ratio functions

**Jos Lelieveld^{1,2*}, Klaus Klingmüller¹, Andrea Pozzer¹, Ulrich Pöschl¹,
Mohammed Fnais³, Andreas Daiber^{4,5}, and Thomas Münzel^{4,5*}**

¹Max Planck Institute for Chemistry, Hahn-Meitner-Weg 1, 55128 Mainz, Germany; ²The Cyprus Institute, 20 Kavafi Street, 2123 Nicosia, Cyprus; ³King Saud University, College of Science, Riyadh 11451, Saudi Arabia; ⁴Center for Cardiology, Cardiology I, Angiology and Intensive Care Medicine, University Medical Center of the Johannes Gutenberg University, Langenbeckstrasse 1, 55131 Mainz, Germany; and ⁵German Center for Cardiovascular Research (DZHK), Partner Site Rhine-Main, Langenbeckstr. 1, 55131 Mainz, Germany

Received 18 November 2018; revised 5 December 2018; editorial decision 22 February 2019; accepted 22 February 2019; online publish-ahead-of-print 12 March 2019

European Heart Journal, ehz135, <https://doi.org/10.1093/eurheartj/ehz135>

Published: **12 March 2019**





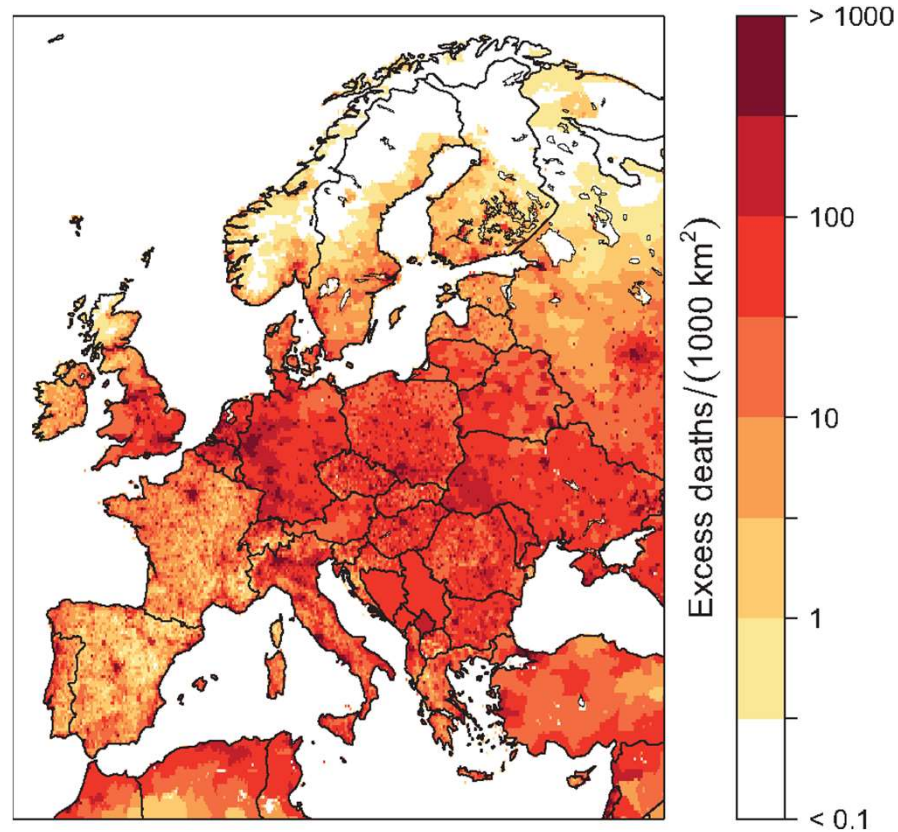
WHO stuft die Auswirkungen von UFP gefährlicher ein als die Auswirkungen durch das Rauchen!

[...] air pollution reduces the mean life expectancy in Europe by about 2.2 years [...]

[...] the health impacts attributable to ambient air pollution in Europe are substantially higher than previously assumed [...]

With the new Global Exposure Mortality Model we estimate 8.79 million in 2015. To put this into perspective, the WHO estimates that the excess death rate from tobacco smoking is 7.2 million per year; **hence air pollution is now rated as the larger risk factor.**

Figure 2 Regional distribution of estimated annual excess mortality rates from cardiovascular diseases (CVD = IHD + + CEV) attributed to air pollution. These rates are lower limits as other noncommunicable diseases are not included.



Wissenschaftliche Publikation

UFP & Alzheimer / Demenz

SCIENTIFIC REPORTS

Article | OPEN | Published: 26 November 2015

Magnetite-Amyloid- β deteriorates activity and functional organization in an *in vitro* model for Alzheimer's disease

Sara Teller, Islam Bogachan Tahirbegi, Mònica Mir, Josep Samitier & Jordi Soriano 

Quelle: <http://www.nature.com/articles/srep17261>

16.11.2020

ConsultAIR

Feinstaub => Alzheimer

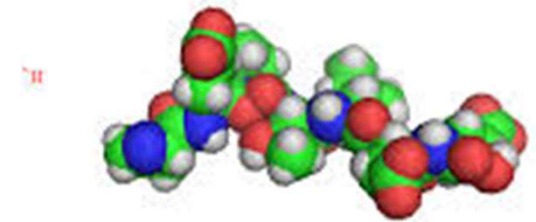
in UFP:

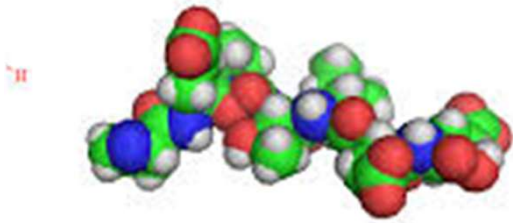
- **Magnetit** = Komplex aus Eisen und Sauerstoff, entsteht bei Oxidation von Eisen, bei industriellen Anwendungen in Nanogröße! => Blutkreislauf!



im Körper:

- **Peptid** = Molekül, organische Verbindung, kleines Protein



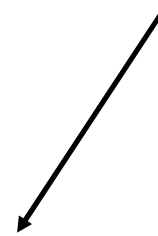
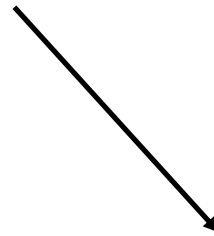


Quelle: <https://www.biosyn.com/faq/what-is-a-peptide.aspx>



Quelle: istockphoto-505094626-612x612

Peptide + Magnetit



Amyloid-beta 40 (A β 40) und 42 (A β 42)

Amyloid Fibrillen = neurotoxische Fasern = „senile Plaques“

Wissenschaftliche Publikation



Review | [Open Access](#) | Published: 02 November 2020

Translocation of (ultra)fine particles and nanoparticles across the placenta; a systematic review on the evidence of in vitro, ex vivo, and in vivo studies

[Eva Bongaerts](#), [Tim S. Nawrot](#), [Thessa Van Pee](#), [Marcel Ameloot](#) & [Hannelore Bové](#) 

Particle and Fibre Toxicology **17**, Article number: 56 (2020) | [Cite this article](#)

139 Accesses | **2** Altmetric | [Metrics](#)

<https://particleandfibretoxicology.biomedcentral.com/articles/10.1186/s12989-020-00386-8#citeas08%2011%202020>

Published: 02 November 2020

16.11.2020

ConsultAIR

Corona Virus - size matters

Upon analysis of negative-stained SARS-CoV-2 articles by electron microscopy, researchers have determined the diameter of this virus to **range between 60 nanometers (nm) to a maximum diameter of 140 nanometers (nm).**

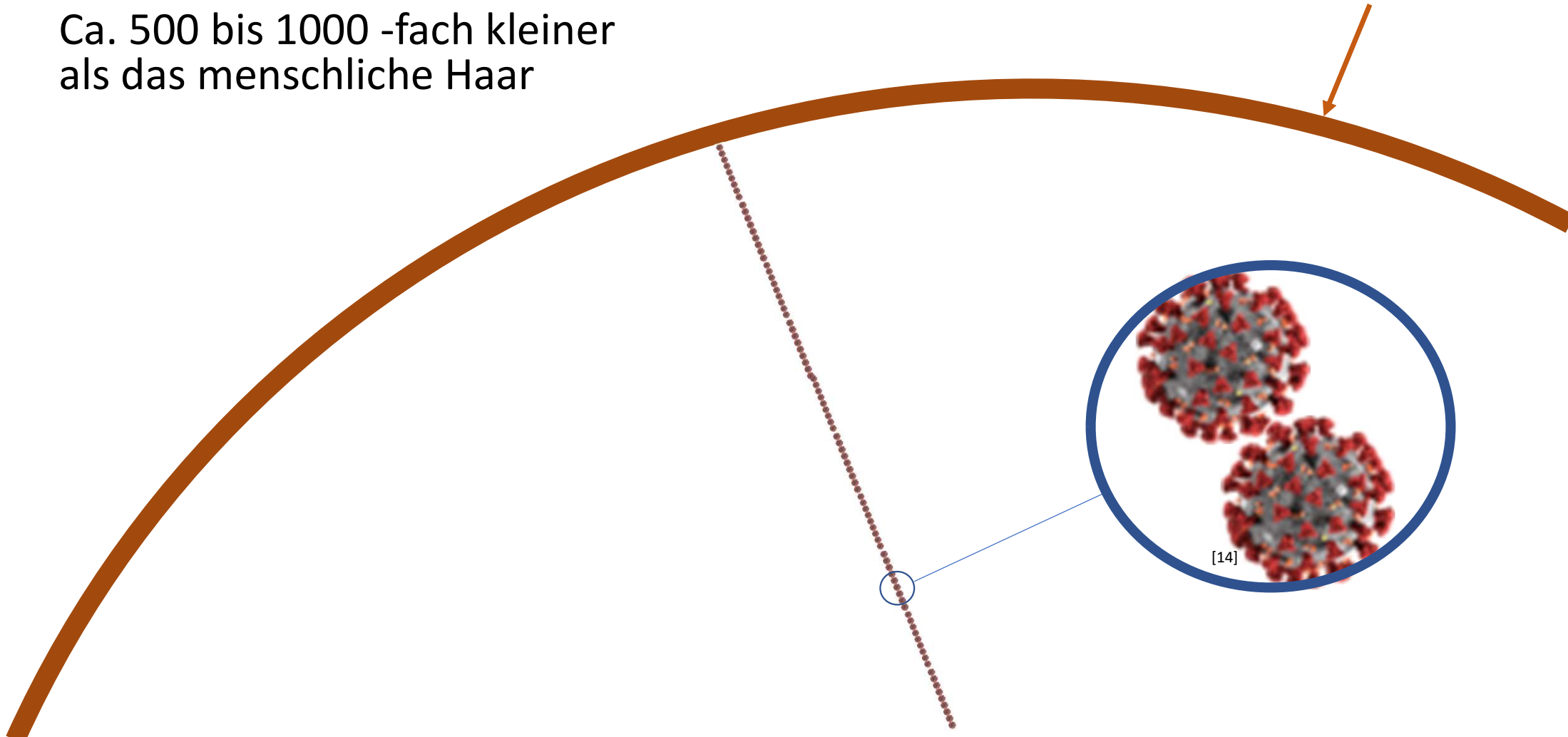
<https://www.news-medical.net/health/The-Size-of-SARS-CoV-2-Compared-to-Other-Things.aspx>

Download 08.11.2020

CORONA Virus

Ca. 500 bis 1000 -fach kleiner
als das menschliche Haar

menschliches Haar



[14]

Positive Korrelation SARS Erkrankung zu Luftverschmutzung in China [12]

Environmental Health: A Global Access Science Source

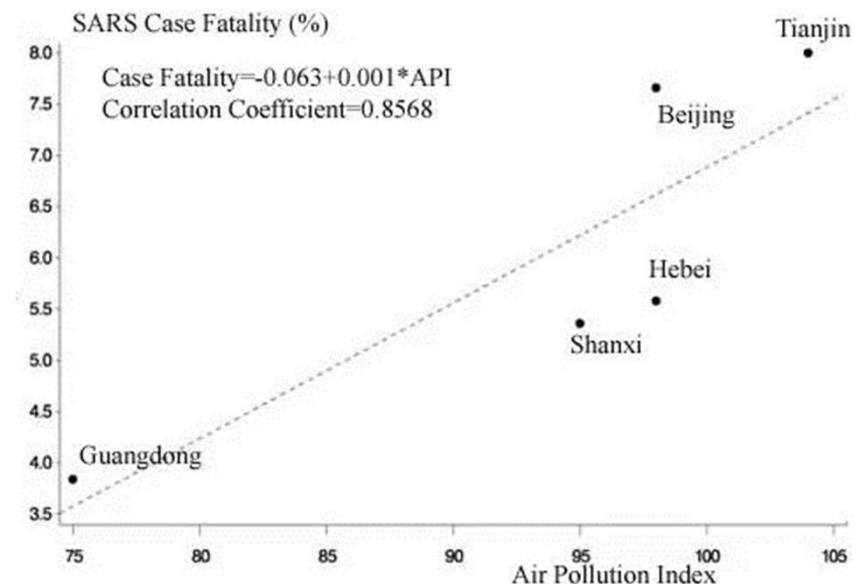


Research

Open Access

Air pollution and case fatality of SARS in the People's Republic of China: an ecologic study

Yan Cui¹, Zuo-Feng Zhang^{*1}, John Froines², Jinkou Zhao³, Hua Wang³, Shun-Zhang Yu⁴ and Roger Detels¹



Conclusion: Our studies demonstrated a positive association between air pollution and SARS case fatality in Chinese population by utilizing publicly accessible data on SARS statistics and air pollution indices. Although ecologic fallacy and uncontrolled confounding effect might have biased the results, the possibility of a detrimental effect of air pollution on the prognosis of SARS patients deserves further investigation.

Positive Korrelation COVID 19 Erkrankung zu Luftverschmutzung in China







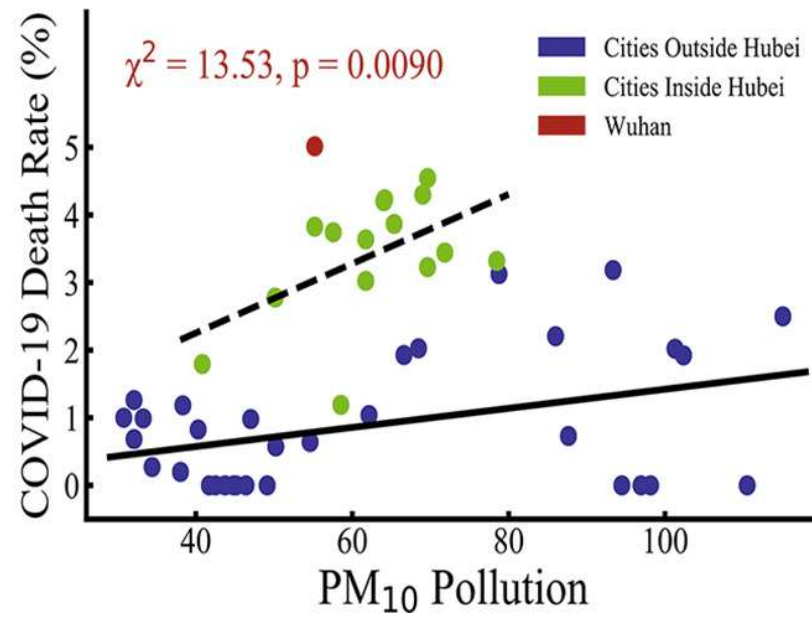
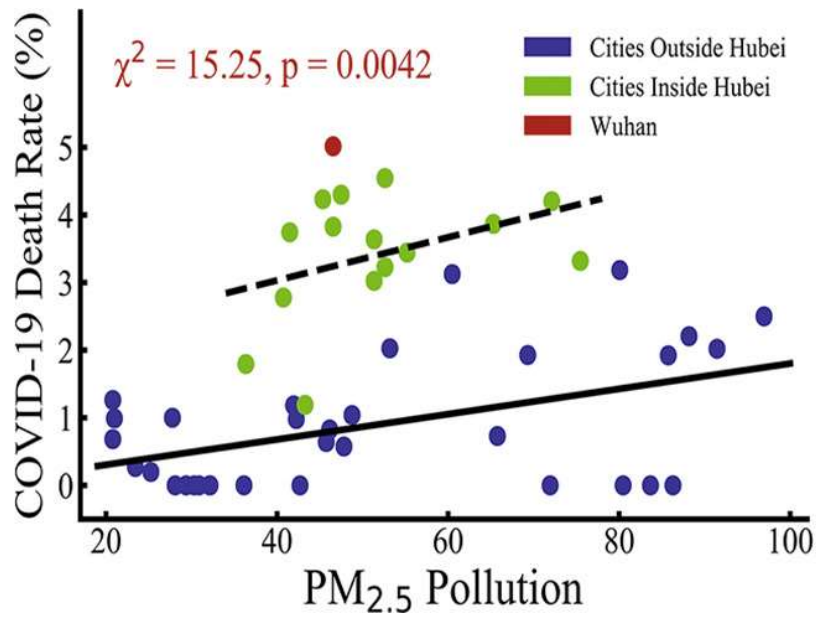
Science of The Total Environment

Volume 741, 1 November 2020, 140396



Association of particulate matter pollution and case fatality rate of COVID-19 in 49 Chinese cities

Ye Yao ^{a, 1}, Jinhua Pan ^{a, 1}, Weidong Wang ^{a, 1}, Zhixi Liu ^{a, 1}, Haidong Kan ^{a, c}, Yang Qiu ^b,
Xia Meng ^a  , Weibing Wang ^{a, c, 2}  



Quelle:

<https://www.sciencedirect.com/science/article/pii/S0048969720339188#f0015>

Downloaded 08.11.2020

Positive Korrelation COVID 19 Erkrankung zu Luftverschmutzung in USA [13]

 HARVARD UNIVERSITY 

COVID-19 PM_{2.5}
A national study on long-term exposure to air pollution and COVID-19 mortality in the United States

Exposure to air pollution and COVID-19 mortality in the United States (Updated April 5, 2020)

Xiao Wu MS, Rachel C. Nethery PhD, M. Benjamin Sabath MA, Danielle Braun PhD, Francesca Dominici PhD
 All authors are part of the Department of Biostatistics, Harvard T.H. Chan School of Public Health, Boston, MA, 02115, USA

Conclusion: “We found that an increase of only $1\mu\text{g}/\text{m}^3$ in PM_{2.5} [particles] is associated with a 15% increase in the Covid-19 death rate,”

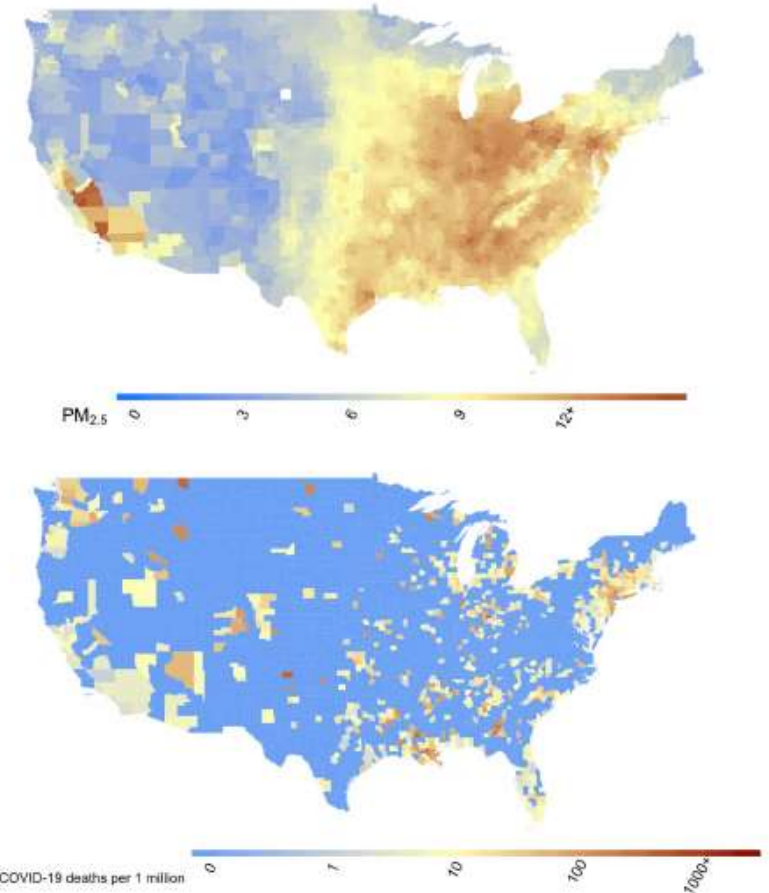


Figure 1: Maps show (a) county level 17-year long-term average of PM_{2.5} concentrations (2000-2016) in the US in $\mu\text{g}/\text{m}^3$ and (b) county level number of COVID-19 deaths per one million population in the US up to and including April 4, 2020.

Coronavirus in Aerosolen nachgewiesen

- Untersuchungen der Raumluft im Klinikzimmer von Erkrankten bestätigen: Aerosole können tatsächlich intakte Viruspartikel enthalten. Laut den US-Forschern zumindest ein Indiz dafür, dass SARS-CoV-2 auch über die winzigen, lange in der Luft verbleibenden Schwebeteilchen übertragen werden könnte.

- published Aug. 2020
- <https://www.medrxiv.org/content/10.1101/2020.08.03.20167395v1>
- Abgerufen am 14.10.2020

16.11.2020

The image shows a screenshot of a preprint page on medRxiv. At the top, the medRxiv logo is displayed with the tagline 'THE PREPRINT SERVER FOR HEALTH SCIENCES'. To the right are logos for CSH Cold Spring Harbor Laboratory, BMJ, and Yale. The title of the preprint is 'Viable SARS-CoV-2 in the air of a hospital room with COVID-19 patients'. Below the title, the authors are listed: John A Lednicky, Michael Lauzardo, Z. Hugh Fan, Antarpreet S Jutla, Trevor B Tilly, Mayank Gangwar, Moiz Usmani, Sripriya N Shankar, Karim Mohamed, Arantza Eiguren-Fernandez, Caroline J Stephenson, Md. Mahbubul Alam, Maha A Elbadry, Julia C Loeb, Kuttichantran Subramaniam, Thomas B Waltzek, Kartikeya Cherabuddi, John Glenn Morris Jr., Chang-Yu Wu. The DOI is provided as <https://doi.org/10.1101/2020.08.03.20167395>. A 'Comments' icon is visible on the right side of the page.

Virusfreie Krankenhausbetten lebensrettend

- Der "Journal of Clinical Oncology" erschienene **Studie** liegen Daten von 9.171 Patienten aus 55 Ländern und fünf verschiedenen Kontinenten zugrunde. Sie zeigt, dass bei einer Behandlung der Patienten in Covid-19-freien Spitalsbereichen die Lungen-Komplikationen (2,2 Prozent statt 4,9 Prozent) als auch die postoperativen Sterblichkeit (0,7 Prozent statt 1,7 Prozent) deutlich geringer ausfielen.
- published Oct. 2020
- <https://ascopubs.org/doi/abs/10.1200/JCO.20.01933>
- abgerufen am 14.10.2020

Quellen des Ultra-Feinstaub - UFP:

Von der Natur: > 1 μm : Vulkane, Waldbrände, Wüstensand
500 mio. bis mehrere Mrd. Tonnen pro Jahr [20]

Vom Menschen:

Verbrennung

- Dieselmotore: je moderner desto kleiner die Partikel!!
- Verbrennungsmotore: moderne Ottomotore mit Hochdruck-Direkteinspritzung!
- Feuer (offene Flamme)
- Brenner (Gas, Öl, Pellets, etc.)

Abrieb

- Bremsvorgänge bei Bahn, Straßenverkehr
- Reifenabrieb
- Industrielle Bearbeitungen

Filterung von UFP

Aus physikalischen Gründen können selbst F9 Filter Feinstaub kleiner $0,2 \mu\text{m}$ **nicht** aus der Luft **ausfiltern!**



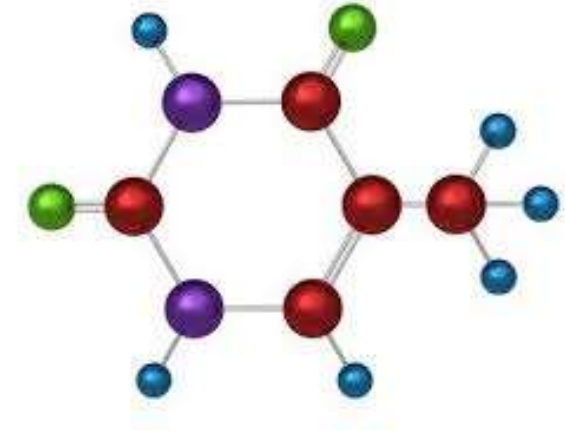
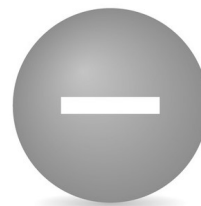
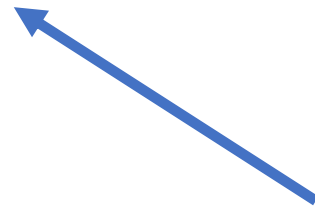
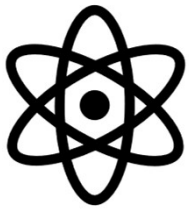
Problemlösung



16.11.2020

**Mit der Kraft der Natur
zur frischen und gesunden Atemluft.**

Luftionen



- klein
- negativ geladen

Konzentration in der Luft



Durchschnittswerte für Luftionenkonzentrationen der Luft in Luftionen/cm³:



Wasserfälle: 20.000



Wald, Gebirge, Meer: 5.000



Stadtrand, Wiesen, Felder: 700 – 1.500



Innerstädtische Parkanlagen: 400 – 600



Innerstädtische Straßen: 100 – 200



Innerstädtische Wohnungen: 40 – 50



Geschlossene, klimatisierte Räume: 0 – 25

natürliche Ionen – Reduktion und Vernichtung

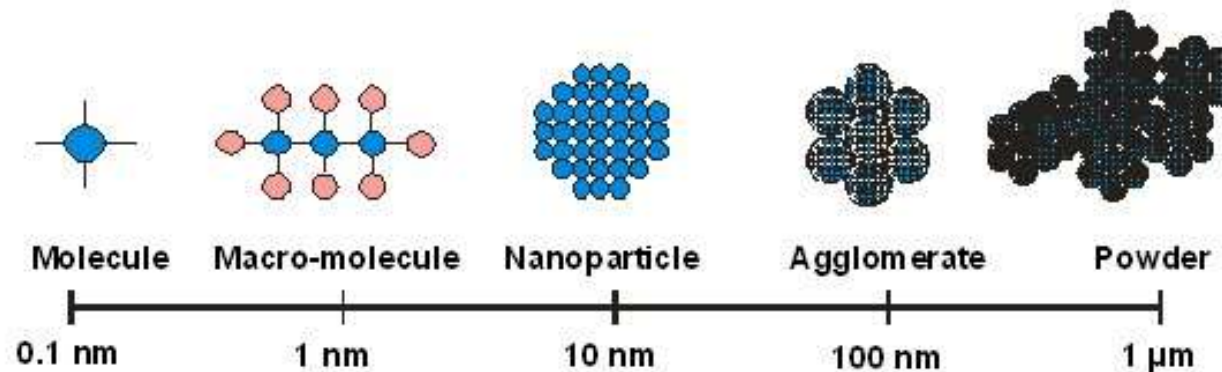
- Kunststoffe
- Feinstaub
- Rauch
- Lüftungsanlagen (elektrische Felder, Erdung, ...)



Wie entstehen Luftionen?

- Elektrische Entladung – **Blitze**
- Natürliche **radioaktive Strahlung** (in Erdreich, auch in einigen Granitarten)
- **Kosmische Strahlung** (ionisierende Strahlung)
- Kurzwellige **UV-Strahlung**
- **Offene Feuer** (Plasma)
- **Wasserfalleffekt** (Lenardeffekt): Zerstäubung und Deformation von kleinen Wassertröpfchen führen zu Polarisierung und Ladungsverschiebung und bilden Luftionen, auch „**Ionendusche**“!
- **Piezoelektrische Effekte**: hohe Drücke führen unter bestimmten Umständen bei bestimmten Kristallen zu einer Ladungsverschiebung und hohen Polarisationsfeldern.
- **Natürliche Materialien** mit hohen Polarisationsfeldern die bei Kontakt mit Luft Luftionen bilden, zB Turmaline
- **Ionisatoren**: künstliche Erzeugung mittels elektrischer Hochspannung, Ozon!
- **Radioaktive Präparate**, künstliche Erzeugung

Agglomeration, Accumulation, Bündelung, Clusterbildung

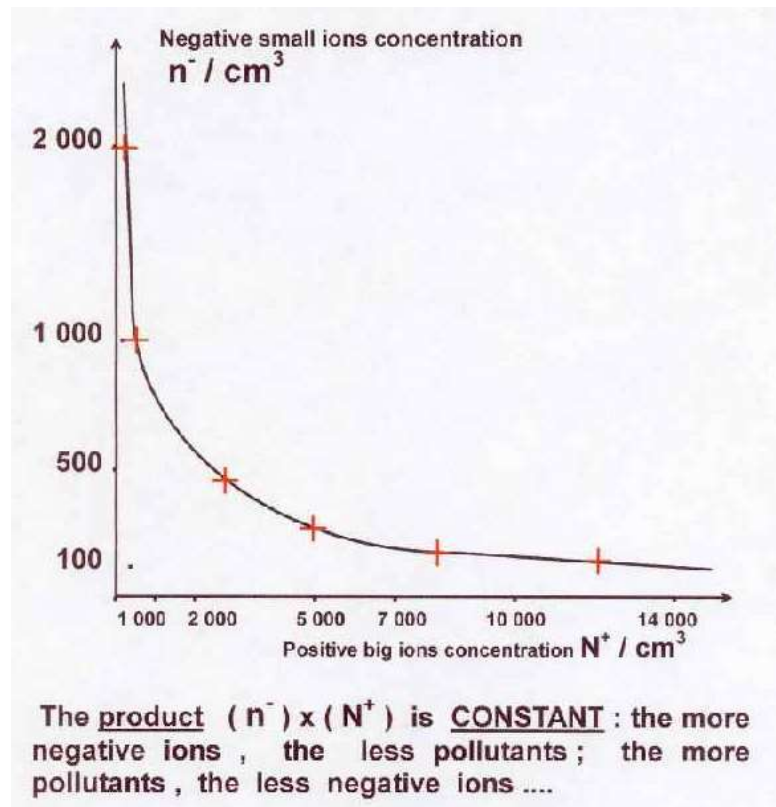


Bis zu 90% Reduktion der UFP in der Luft !!

Agglomerieren [lat.] bedeutet anhäufen, in der Verfahrenstechnik die Vergrößerung eines Partikels.

Agglomerate: Teilchenverbände

Gesetz von Bricard



Das Produkt von negativ geladenen Ionen und positiv geladenen Partikeln (= Feinstaub) ist konstant! (1,4 mio)

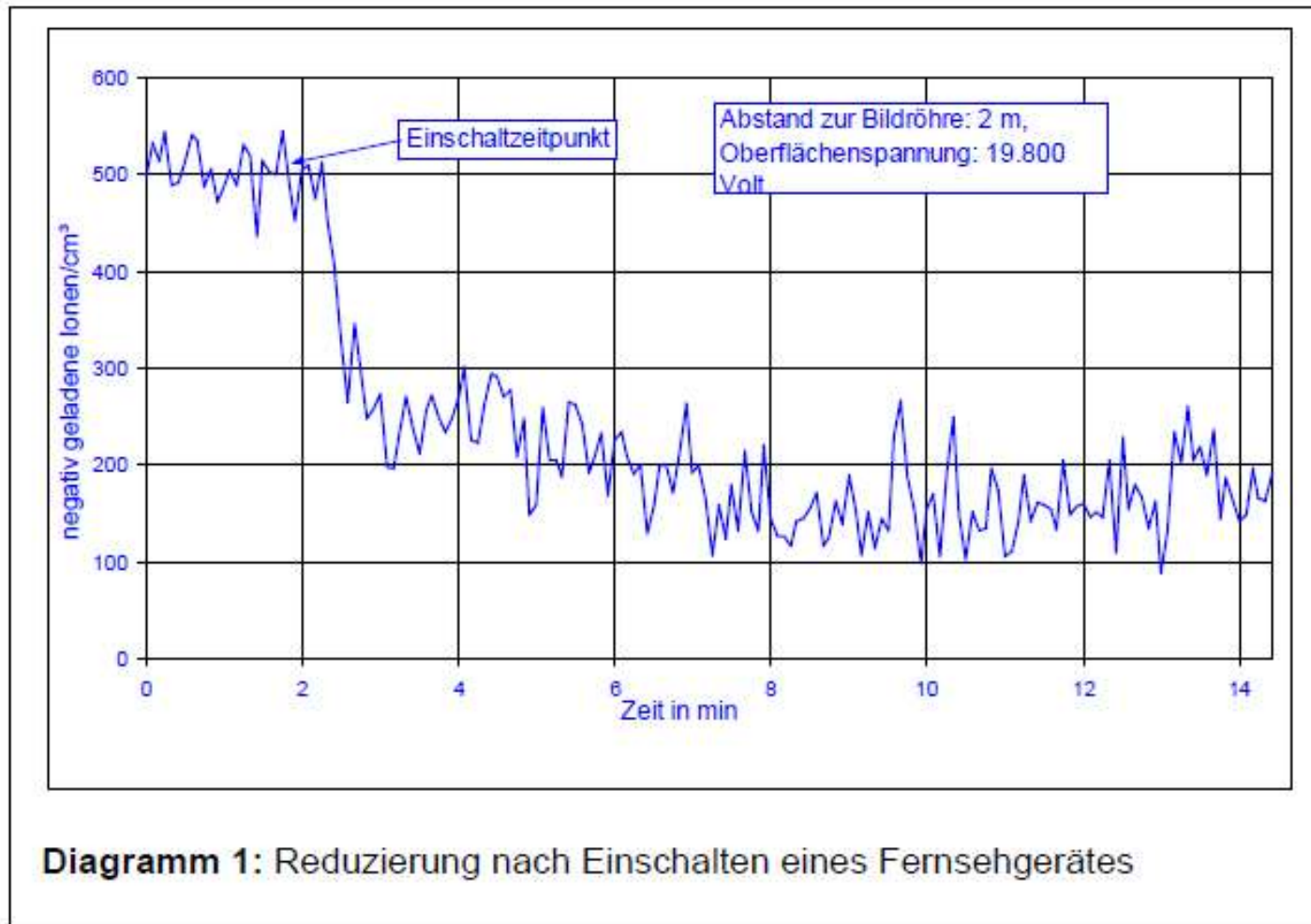
Ionometer

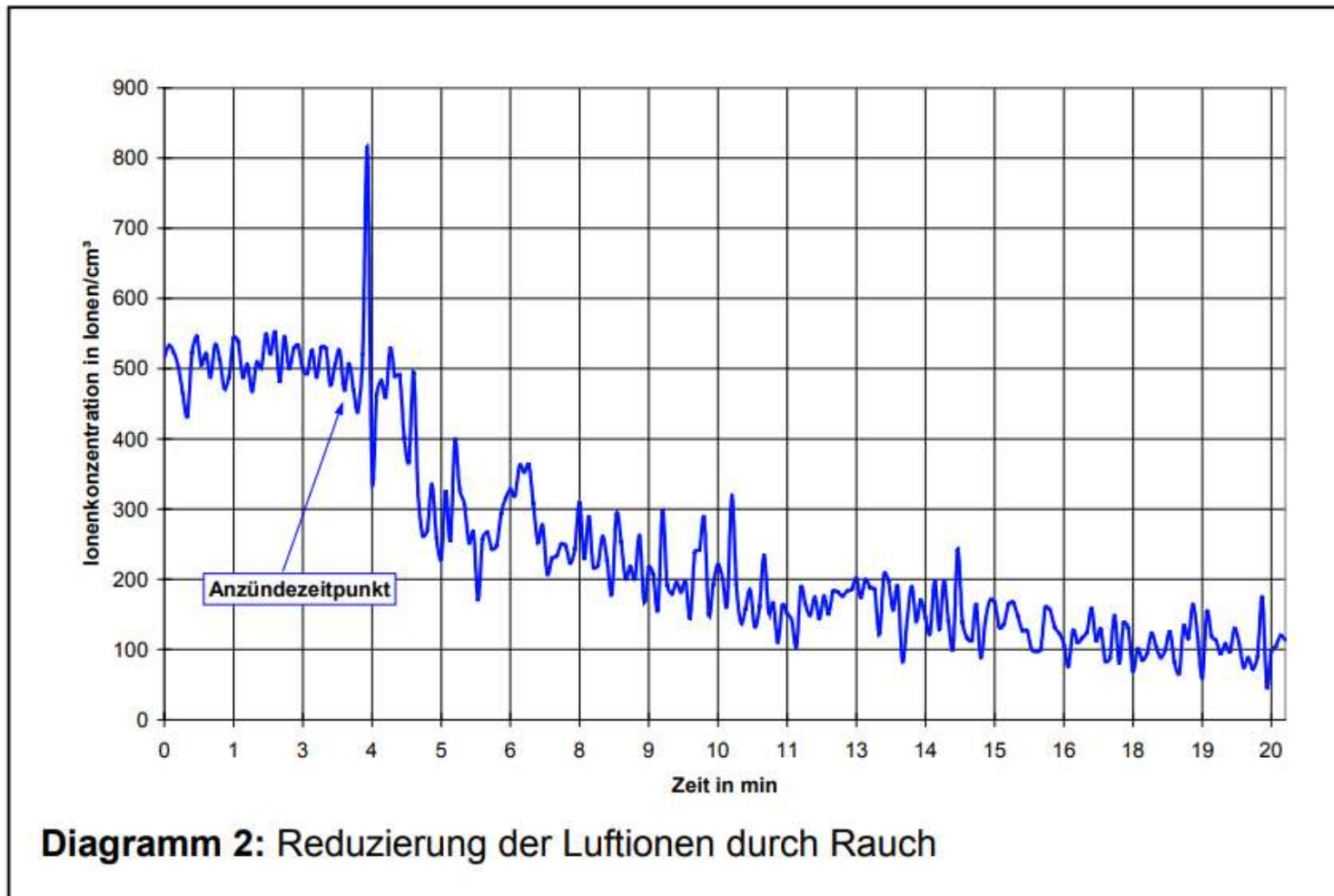


[5]

Luftionen: 1-50 nm groß, messbar mit Ionometern
Meßgröße: Luftionen pro cm^3 Luft

Messung durch Baubiologen bzw. baubiologische Messtechniker





Abrachen eines Räucherstäbchens: Nach 13 Minuten hatte sich die Ionenkonzentration von 500 Ionen/cm³ auf 100 Ionen/cm³ reduziert. Die Wirkung mit Zigarettenrauch ist die gleiche.

Nach der Messung konnte nur durch intensives Lüften des Raumes die ursprüngliche Ionenkonzentration wieder hergestellt werden.

Reduktion von UFP

Beispiel: Besprechungszimmer in KH

77



16.11.2020

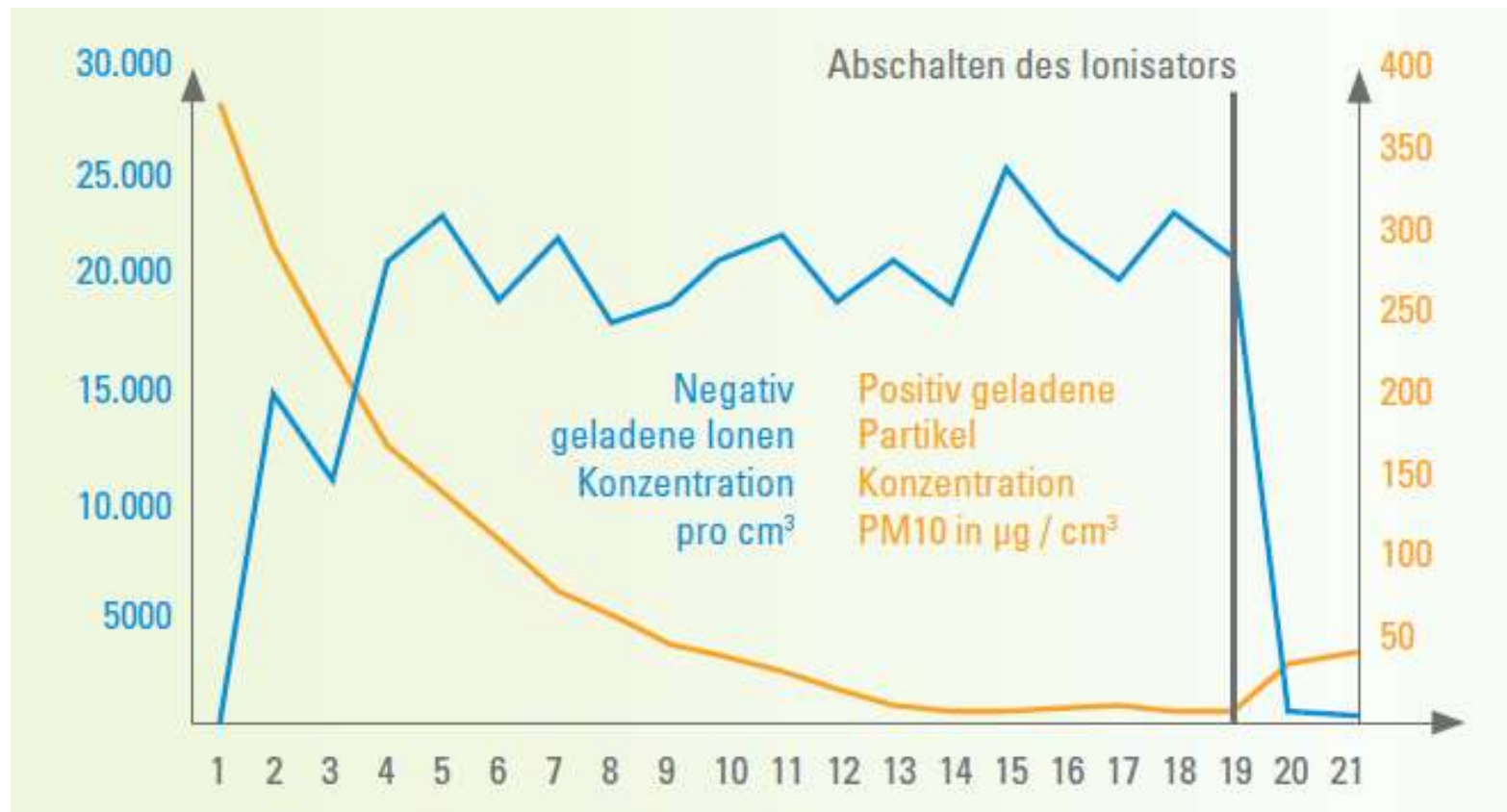
Ergebnisse

Krankenhaus in Wien														
Ort	Messung #	Besprechungszimmer						Parkplatz vor dem KH	Besprechungszimmer					
		1	2	3	4	5	6	7						
	Datum	25.03.2019	25.03.2019	25.03.2019	25.03.2019	25.03.2019	25.03.2019	25.03.2019	22.08.2019	22.08.2019	22.08.2019	30.09.2019	30.09.2019	30.09.2019
	Bemerkungen :	Ohne Luftbehandlung			mit Luftbehandlung				mit Luftbehandlung			mit Luftbehandlung		
	Partikelgröße in µm	Vor der Inbetriebnahme, Raum leer			ca.30min nach Inbetriebnahme				während einer Besprechung			Anlage ca.60min in Betrieb, Raum leer		
Partikelanzahl pro Größen-gruppe	0,3	1.501	1.798	1.471	1.029	1.419	1.156	25.487	334	658	471	180	172	161
	0,5	595	791	486	455	430	255	6.547	178	126	101	199	74	79
	1	137	281	71	34	33	34	1.037	17	1	15	0	1	34
	2,5	21	39	17	8	5	9	131	5	5	0	0	2	5
	5	6	1	4	2	1	-	9	2	0	0	0	2	4
	10	7	4	2	2	3	1	7	1	0	0	2	1	2
	Summen:	2.267	2.914	2.051	1.530	1.891	1.455	33.218	537	790	587	381	252	285
	Mittel	2411			1625				638			306		
Abweichung von „ohne Behandlung“:					-33%				-74%			-87%		

16.11.2020

Angaben in differentieller Mengenzahl:
 Beispiel für die Messung #1: 1.501 Partikel sind kleiner gleich 0,3 µm groß; 7 Partikel sind größer 5 µm aber kleiner oder gleich 10 µm groß.

Messergebnisse



Dauerhafte Raumionisierung zur Vorbeugung einer Aerosolinfection

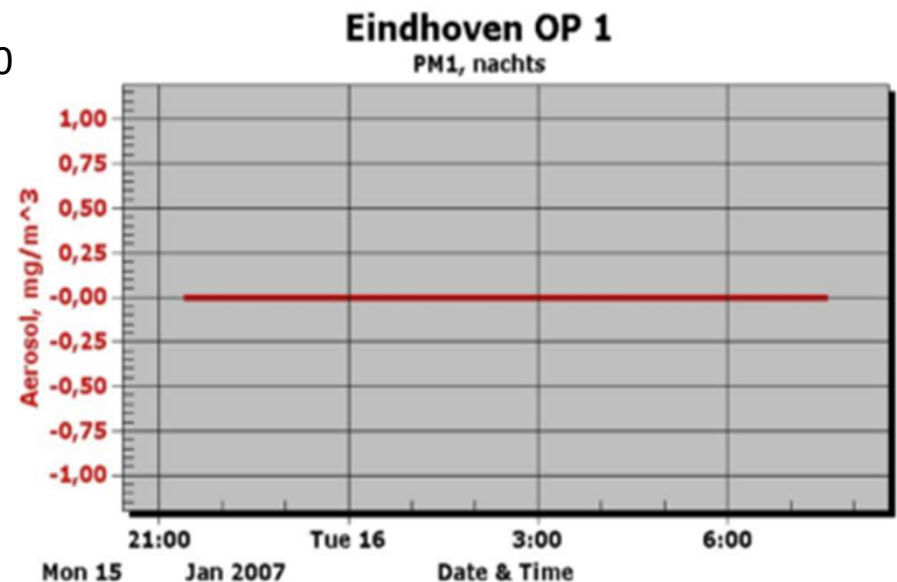
- Problem: Bei einer infizierte Person in einem Raum mit einer zweiten Person: es besteht eine Ansteckungsgefahr!
- Lösung: Reduktion der Aerosole mittels Ionisierung aus der Raumluft.

Beispiel aus der Praxis: Seit 14 Jahren (2006) wird im größten Spital Hollands (Eindhoven) bei 21 OP Anlagen eine Luftionisation durchgeführt. Die Anlagen zur Luftionisation werden jährlich vom Hygieneamt geprüft.

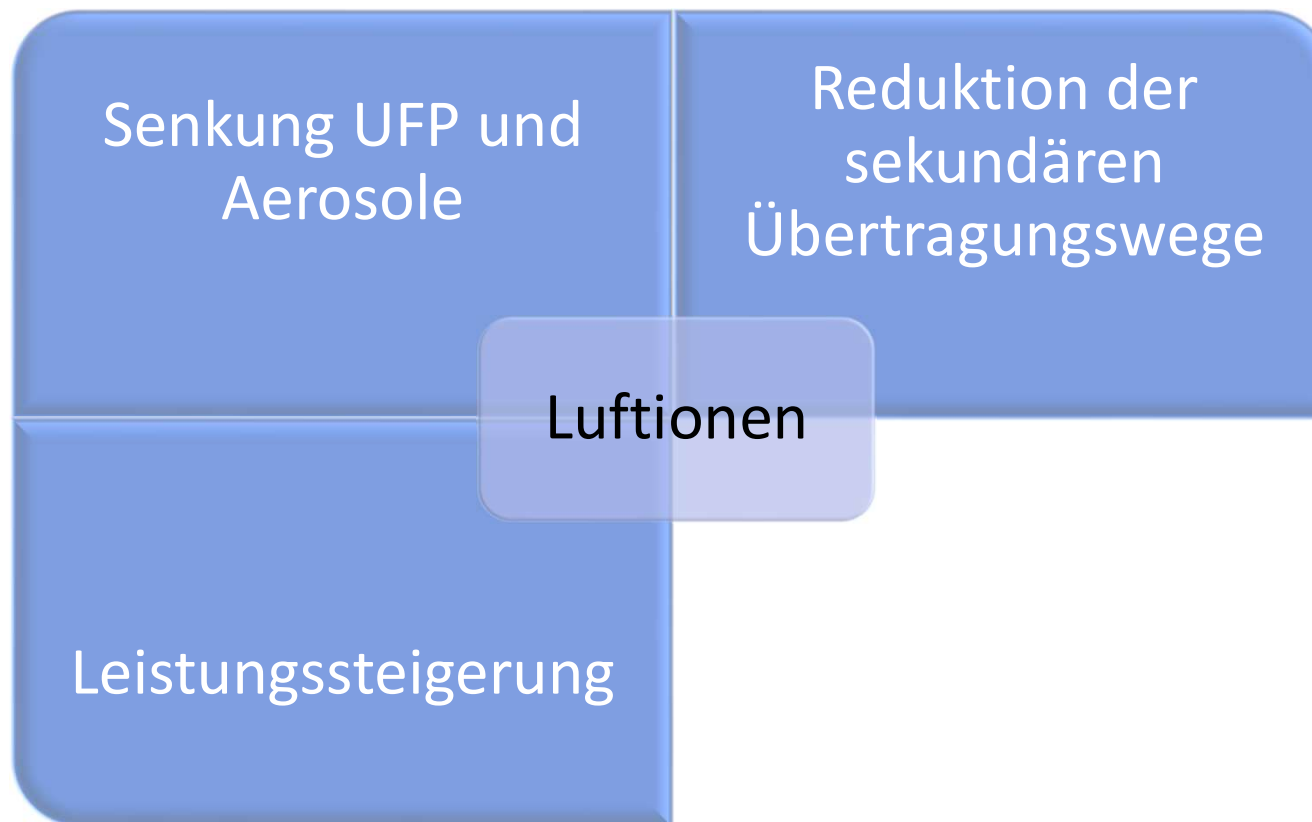
Ergebnis:

Keime: 0

Aerosole:0



Vorteile der Raumluft-Aktivierung



Leistungssteigernde Effekte Ionisierte Luft

Wissenschaftlich erwiesen und messbar:

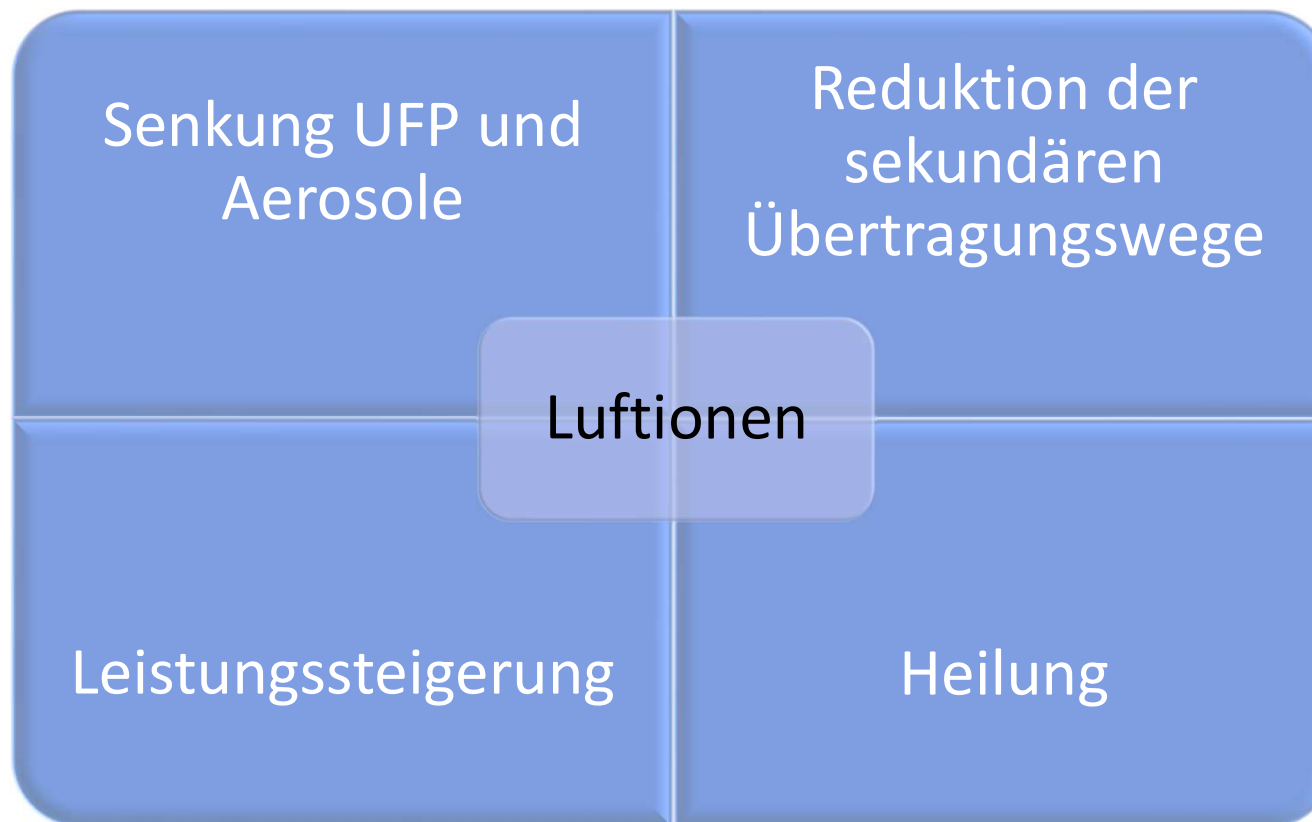
Leistungs- und Konzentrationsfähigkeit des Menschen wird
zwischen **10 bis über 50%** gesteigert.

Wissenschaftliche Publikationen

Leistungssteigernde Effekte von aktivierter (=ionisierter) Luft:

- Hutter HP, Kundi M, Wallner P (2011) Einfluss von Luftionen in Innenräumen auf Wohlbefinden, Gesundheit und Leistungsfähigkeit.“
- Hutter H-P, Wallner P, Kundi M, Piegler K, Tappler P, Damberger B, Moshhammer H (2014): Air ions, well-being and cognitive performance: results of a cross-over experiment in children. 4th Central & Eastern Europe Conference on Health and the Environment (CEECH): The Environment – A Platform for Health (Cluj-Napoca, Romania, 25.-30.5.2014):43
- Eichmeier J (1964): Eigenschaften und biologische Wirkungen atmosphärischer Kleinionen. Umschau 14:420-422.
- Fischer G, Kobinger W (1991): Arbeitsmedizinische Ergebnisse bei künstlicher Luftionisation. Atemw-Lungenkrkh 17, 1. Beiheft: B78-B80.
- Flory R, Ametepe J, Bowers B. (2010): A randomized, placebo-controlled trial of bright light and high-density negative air ions for treatment of Seasonal Affective Disorder. Psychiatry Res. 177:101-8.
- Jorde W, Schata M (1979): Inhalation unipolarer Ionen. Atemw-Lungenkrkh 5:443-453.
- König H (1986): Unsichtbare Umwelt. 5. Aufl., Eigenverlag, München.
- Moser M, Auerbach D, Frohmann E, Grote V, Lackner H, Messerschmidt D, Muhry F, Zeiringer C (2004): Wasserfallelektrizität – Wirkung von Luftionen auf die Gesundheit. In: Voigt Beatrice, in Beitrag von Moser Max, Wasser – Schatz der Zukunft. Impulse für eine nachhaltige Wasserkultur. 1, 172; Oekom. Gesellschaft für Ökologie, München.
- Varga A (1981): Grundzüge der Elektrobioklimatologie. E. Fischer, Heidelberg.

Vorteile der Raumluft-Aktivierung



Wissenschaftliche Studie

Küster, Emil, Dittmar, Carl

Veröffentlicht Nov. 1940

Experimentelle Untersuchungen über therapeutische Beeinflussung von Impf- und Spontantumoren durch Behandlung der Versuchstiere mit unipolar negativ hochionisierter Luft.

Z Krebs-forsch 50, 457–464 (1940)

<https://doi.org/10.1007/BF01620208>

„Besserung und Heilung durch ionisierte Atemluft“



- Bei Inhalation von ionisierter Luft wird das Wachstum von Tumoren gehemmt
- Ionisierte Atemluft zur Unterstützung bei
 - Krebsbehandlung,
 - Asthmaerkrankung,
 - Regeneration des zentralen Nervensystems
 - uvm.
- Ionisierter Sauerstoff – Heilmittel Nr. 1 bei allen Krankheiten (Medizin aus der Luft)

[13]



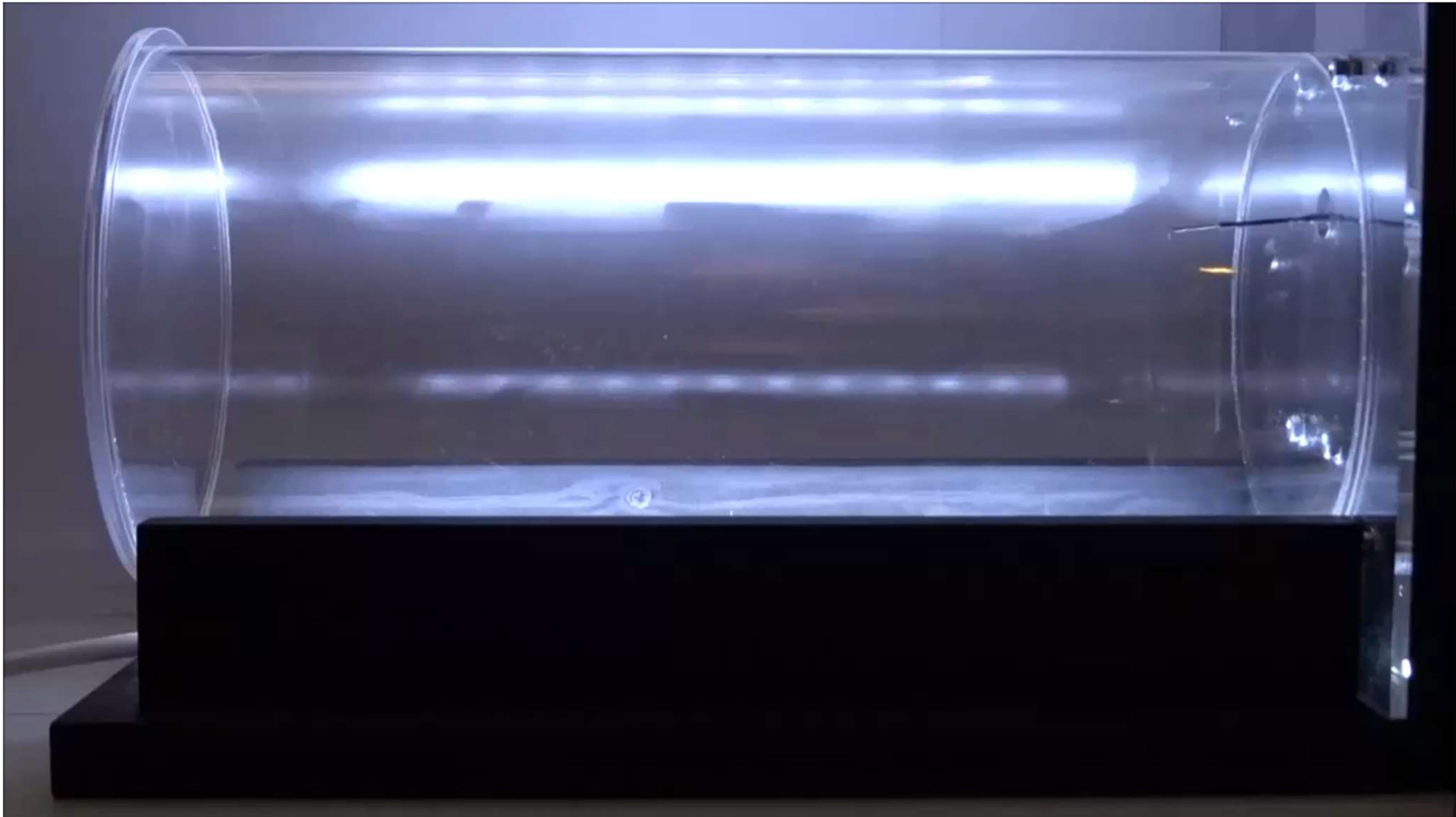
Gesunde Luft

- weniger pathogene Keime wie Bazillen, Bakterien, Viren, Pilze und Pilzsporen
- frei von Stäuben und Partikel
- Frei von VOCs - flüchtige (gasförmige) organische (kohlenstoffhaltige) Verbindungen
- frei von Gerüchen
- ausreichend Luft-Ionen

Vorteile der ausreichend negativ ionisierten Raumluft

- Reduzierung von Staub, Schadstoffen Keimen, Viren, Bakterien und Pollen
- Keimfreiheit in der Zuluftanlage
- Erhöhte Sauerstoffaufnahme im Blut
- Senkung des Blutdrucks und der Pulsfrequenz
- Erhöhte Leistungsfähigkeit
- Stärkung des Immunsystems





18.11.2020

<https://www.youtube.com/watch?v=YD-UgxIY9VM&feature=youtu.be>

ConsultAIR

Literaturverzeichnis

- [1] ... <http://medienschafe.files.wordpress.com/2011/03/ionisation.jpg>
- [2] ... <http://topsurfen.org/atom.htm>
- [3] ... <http://www.raumluft.org/schadstoffe-schimmel-co/luftionen/>
- [4] ... Aga Wagner, „Der Luftionen Faktor“, Books on demand, 2012
- [5] ... <http://www.priggen.com/>
- [6] ... KOFEC: „Über Luft ...“
- [7] ... <http://www.topchem.de/Ozongeneratoren/>
- [8] ... Wang (1975) in „Richtlinien zur Bewertung der Innenraumluft“, Fassung 2017
- [9] ... „Feinstaub wandert ins Gehirn“ 06.09.2016, Forscherin Barbara Maher: <http://science.orf.at/stories/2795137/>
- [10] ... Spiegel online, 04.03.2018: „Wie schädlich ist Feinstaub?“ <http://www.spiegel.de/gesundheit/diagnose/abgas-feinstaub-durch-benzinmotoren-wie-schaedlich-ist-er-a-1189739.html>
- [11] ... Youtube, 18.04.2018: Effekt Ionisierung und Rauchpartikel: <https://www.youtube.com/watch?v=kYdqtJOApRs&feature=youtu.be>
- [12] ... Cui, Y., Zhang, Z., Froines, J. et al. Air pollution and case fatality of SARS in the People's Republic of China: an ecologic study. Environ Health 2, 15 (2003). <https://doi.org/10.1186/1476-069X-2-15>
- [13] ... Krebs - Chance oder Finale: Ursache des Ausbruchs, von L.W. Göring, R. Garve
- [14] ... Quelle Foto: Von CDC/ Alissa Eckert, MS; Dan Higgins, MAM - <https://phil.cdc.gov/Details.aspx?pid=23312> Dieses Medium stammt aus der Public Health Image Library (PHIL), mit der Identifikationsnummer #23312 der Centers for Disease Control and Prevention. Hinweis: Nicht alle PHIL-Bilder sind gemeinfrei; überprüfe unbedingt den Urheberrechtsstatus und die Nennung der Autoren und Inhaltsanbieter. Deutsch | English | македонски | slovenščina | +/-Diese Datei wurde von diesem Werk abgeleitet: 2019-nCoV-CDC-23312.png; Gemeinfrei, <https://commons.wikimedia.org/w/index.php?curid=86444014>
- [15] ... <https://www.dailymail.co.uk/news/article-3204873/How-100-million-shade-balls-brought-protect-LA-s-reservoir-evaporating-fact-bacterial-nightmare.html>, downloaded on 09.11.2020
- [20] ... Weinstein P, Horwell CJ, Cook A. Volcanic emissions and health. In: Selinus O, Alloway B, Centeno JA, Finkelman RB, Fuge R, Lindh U, Smedley P, editors. Essentials of medical geology. Netherlands: Springer ordrecht; 2013. p. 217–38.
- Henderson SB, Brauer M, MacNab YC, Kennedy SM. Three measures of forest fire smoke exposure and their associations with respiratory and cardiovascular health outcomes in a population-based cohort. Environ Health Perspect. 2011;119:1266–71.
- Derbyshire E. Natural minerogenic dust and human health. Ambio. 2007;36:73–7.
- Griffin DW, Kellogg CA, Shinn EA. Dust in the wind: long range transport of dust in the atmosphere and its implications for global public and ecosystem health. Global Change Human Health. 001;2:20–33.
- Davidson CI, Phalen RF, Solomon PA. Airborne particulate matter and human health: a review. Aerosol Sci Technol. 2005;39:737–49.
- Kahn ME. The death toll from natural disasters: the role of income, geography, and institutions. Review Econ Stat. 2005;87:271–84.

ConsultAIR

Danke!

<https://www.proluft.at/de/Ultra-Feinstaub-Reduktion.htm>

Christof Braunegg

office@consultair.at

18.11.2020